

1

Motrici: trasformano energia naturale in lavoro meccanico
Macchine (idrauliche, termiche, elettriche)

operativi { tecnologiche
 per industrie serie
 sollevamento e trasporto

Mecanismo sistema di organi atti a trasformare un movimento in un altro unico e determinato

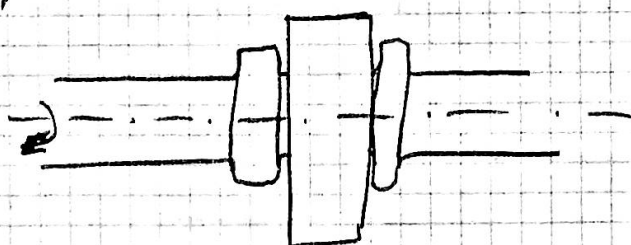
organi = parti della macchina \Rightarrow { collegamenti fissi (viti...) /
 ganci / ganci liberi (cerniere)

le superfici di contatto sono gli elementi cinematici di una coppia

Coppia insieme di due elementi cinematici il cui moto relativo è unico e determinato

coppia indipendente (ad es. una pista di rotazione)

coppia dipendente quando deve far parte di un'altra coppia perché essa possa sussistere es.



Se non ci fossero i bordi non avrebbero 2 gradi di libertà e non ci sarebbe più una coppia

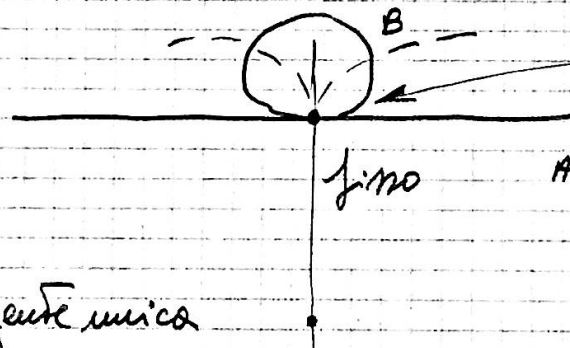
Motivo dei contatti:

Ragionando per comodità sul "moto relativo" si ha

relative

- 1) Velocità di due P: a contatto nullo: rotolamento

la traiettoria del P di contatto presenta un regresso



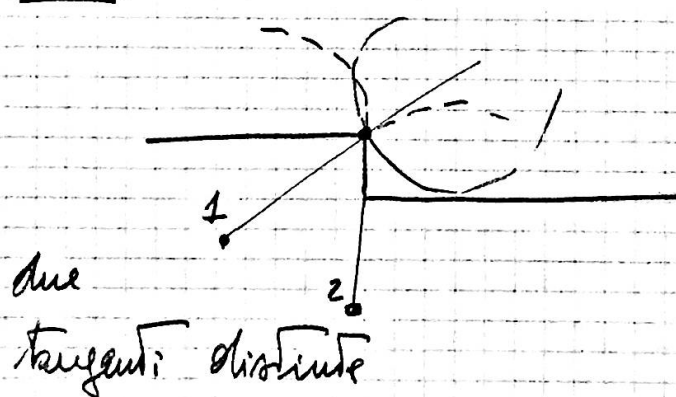
una tangente unica

- 2) Velocità relativa di due P: a contatto diverso non contenute nel piano tg comune: scricciolato

la traiettoria del P di contatto è tg alla superficie
(slitta in una guida)

- 3) Vel. rel. di due P: a contatto diverso non nel piano tg

urto la traiettoria ha un P angoloso



due tangenti diverse

Copie cinematiche elementari: sono costituite da elementi rigidi con superfici di contatto identiche e combacciate. (2)

(1) Prismatica

(2) Rotoidale { lontane
vicine riflessione I oppo rotazione
riflessione II " "

(3) Elicoidale o piano o cono direttrice [Vite, maderuote]

Copie superiori

per esclusione tutte le nuove elementari

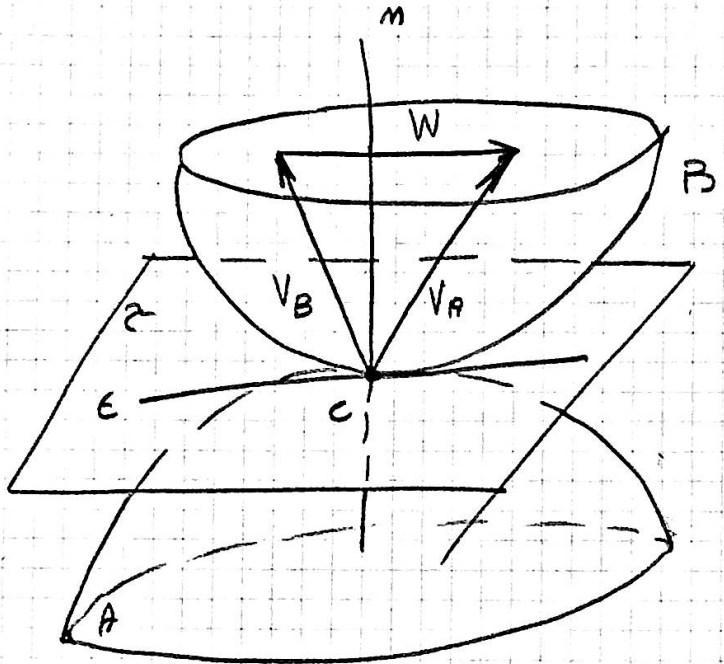
ad es. le nuove rigide (angolie)

Il moto relativo è il risultante di:

moto di strisciamento sul piano di commissione

" " rotolamento attorno ad un asse giacente in quel piano

" " rotazione " " " " \perp a " "



Perche' non ci sia
confusione o
distacco V_{A_m} e V_{B_m}
devono essere uguali,
o anche $W = V_A - V_B$
deve essere $\parallel z$

① Coppie piane superfici cilindriche

il moto relativo è \parallel col piano fijo
ed è una successione di rotazioni istantanee attorno ad uni
+ al piano fijo [ass di istantanea rotazione]

centri di istantanea rot. : intersezione ass di istantanea rot.
col piano fijo

polare fijo luogo dei centri di istantanea rotazione considerato
solidale col profilo fijo

polare mobile luogo considerato solidale col profilo mobile

NB le due polari rotolano solamente tra di loro
e sono le primitive della coppia

② Coppie sferiche hanno un polo o fissa

O centro moto sferico

il moto è una successione di rotazioni istantanee attorno a rette fissate
uscenti da O

queste rette considerate solidali al membro fissa e col mobile
fanno due coni detti primitivi con rotolamento fuso

③ Coppie generali:

il moto è una successione di moti istantanei elicoidali attorno
ad un asse che muore continuamente di posizione

Il luogo degli assi è una riga } rigata fissa
} rigata mobile

tra esse non si ha trascinamento in senso normale ma solo
lungo la generatrice si contatto

In coppie collegate fanno uno catenaria cinematica

meccanismo: catenaria cinematica con un membro fissa stesso

Telaio

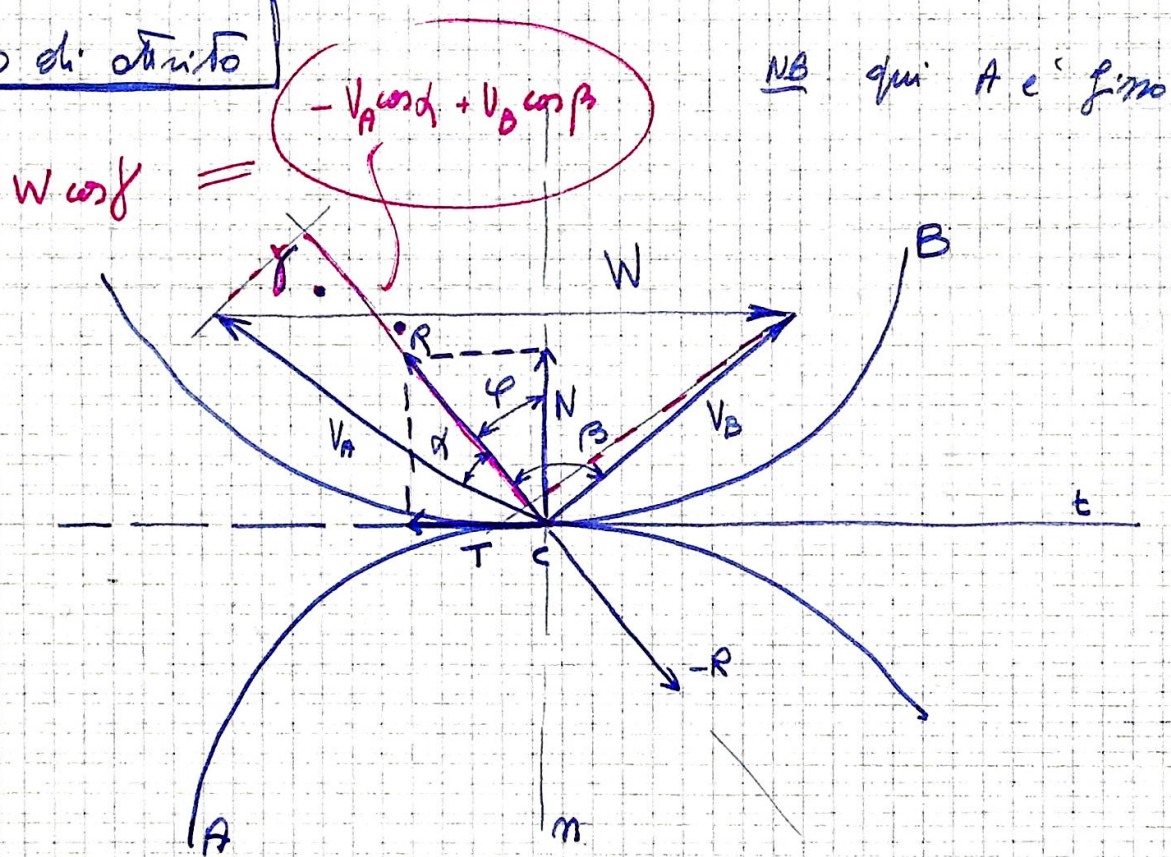
Attrito radente e sue forme

L'azione è uguale alla reazione ma contraria \rightarrow

\rightarrow le forze interne sono uguali due a due, giacenti sulla stessa retta ed opposte.

ci interessano le azioni di contatto

lavoro di attrito



i lavori compiuti da R e $-R$ sono ~~per~~

R per le variazioni degli spzi lungo R

gli spzi sono $v_A \cdot dt$ e $v_B \cdot dt$

quindi i lavori sono

$$R V_B \cos \beta \Delta t \\ - R V_A \cos \alpha \Delta t$$

$$L_p = R \underbrace{(V_B \cos \beta - V_A \cos \alpha)}_{W \cos \gamma} \Delta t = R W \cos \gamma \Delta t$$

ma $\cos \gamma = \sin \phi \rightarrow L_p = R W \sin \phi \Delta t =$

$$= \cancel{T} W \Delta t = N f p W \Delta t = (f N) W \Delta t$$

dove $f = f p \phi = \frac{T}{N}$ q' angolo di attacco

Se il W_o di caccia non è un W_o il lavoro permesso è l'integrale dei lavori elementari su linee el. o su superfici el.

definiamo: tensione specifica

$$\rho_m = \frac{N}{\ell} \quad (\text{per carica lineare})$$

$$\rho_m = \frac{N}{S} \quad (\text{per carica superficiale})$$

L'attrito difende da

- vibrazioni locali superficiali, usura materiale, corrosione, geometria usata
- lubrificazione
- condizioni dinamiche (penetrazione specifica, vibrazione, temperatura)

Attrito

①

Sessi

✓ superfici opposte - lubrificazione nulla
ingranamento reciproco esterzosi

segue la legge sperimentale di Coulomb Morin

②

Vestiti

superficie appena nata (epitassia)
contatto indiretto superfici

e' importante la oleosita: attitudine a formare
adsorbimento

- difende e del lubrificante e dal materiale

✓ una legge per f_c

③

viscoso o fluidosuperficie non parallele \Rightarrow \Rightarrow presenza del "mezzo" film lubrificantee' importante la viscosita'Se segue la legge di ReynoldsE così gli semi-seco e semi-fluidoOra la oleosità è una proprietà di difficile definizione e misurazioneAttrito fra superfici scivolateLegge di Coulomb e Morin

- ① il coefficiente di attrito allo sfregamento dipende dalla natura dei materiali e contatto e dello stato di levigatura delle superfici.
- ② è indipendente dalla velocità e dall'estensione delle superfici e contatto

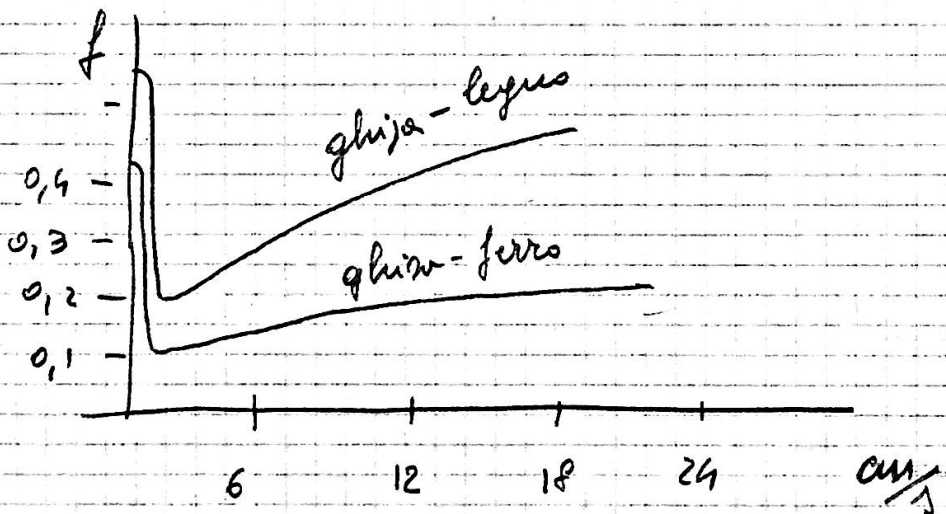
$$\Rightarrow T = f \cdot N \quad T \text{ dipende solo da } N$$

asì non vale se σ è piatta (spinta iniziale dura
 f è $2 \div 2,5$ volte di fu' che dopo)

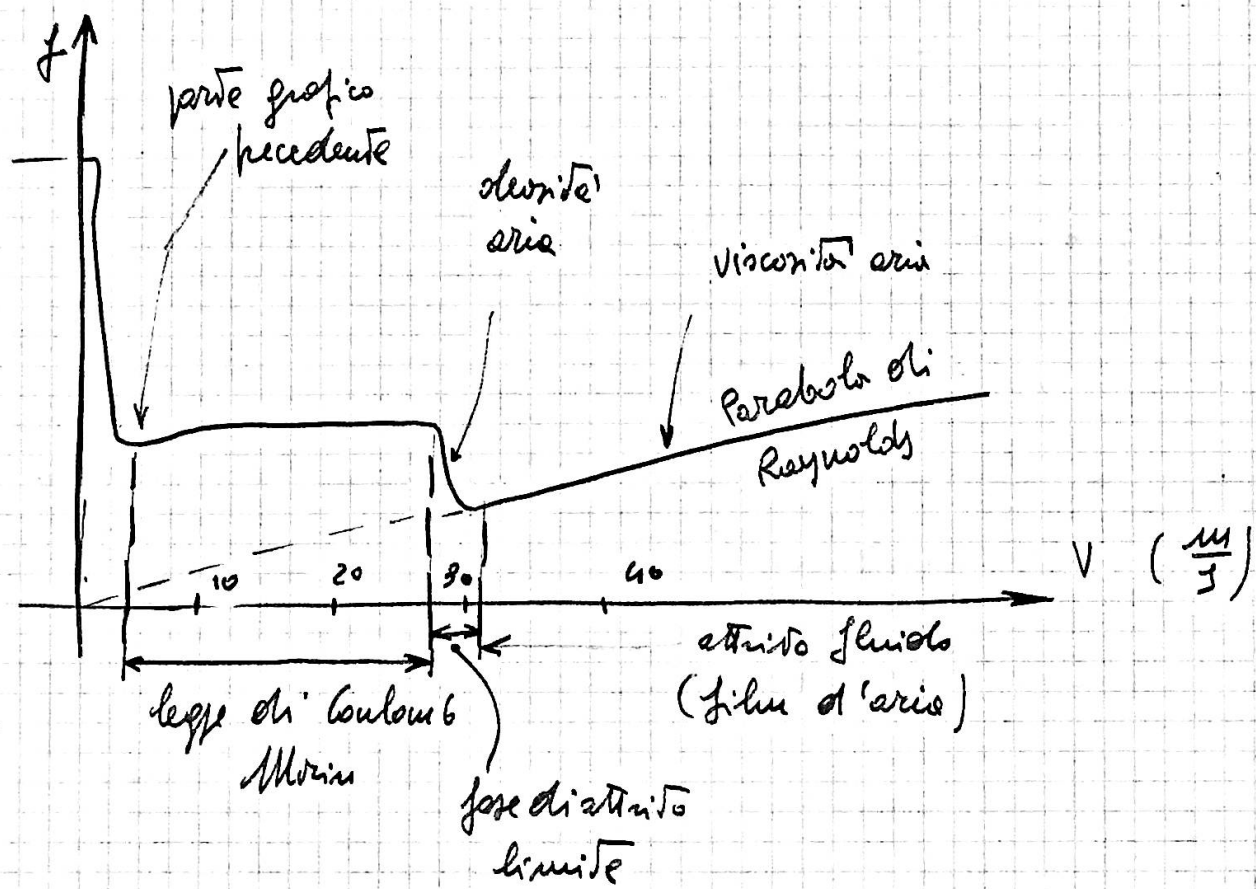
Va bene per $0,5 \leq \sigma \leq 5 \frac{m}{s}$

per Velocità fu' elevate prima diminuire, poi aumenta ancora

L'esperimento dice



se prendiamo un grafico con un maggior
 range di σ velocità

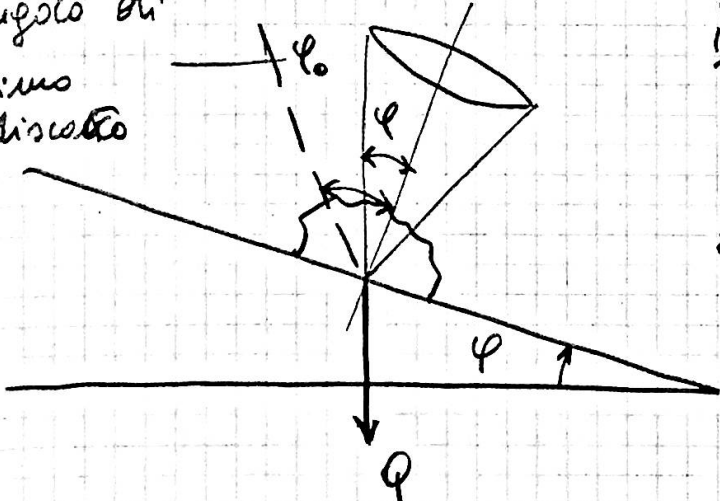


metallo su metallo $f = 0,15 \div 0,3$

" " legno $f = 0,3 \div 0,4$

ferro " metallo $f = 0,35 \div 0,5$

angolo di
risus
dissesto



1) retta di Q dentro il cono:
non ferma

2) sul cono $v = \text{cost}$

3) fuori accelera

N.B. il cono è circolare se il mezzo è omogeneo (No per legno)

Attrito intorno

- constatazioni
- una goccia si distende tanto fin quanto più debole è la tensione superficiale dello olio rispetto alle superficie
 - la pellicola oleosa è difficile da staccare meccanicamente → la superficie è ruvida

intuizioni aderenza lubrificanti alle superfici

oleozità tendenza a favorire il fenomeno di intuizioni

Es centri attivi (valenze non soddisfatte) con notevole affinità per i metalli

centro attivo : gruppo carbonilico.

(con Woog)

l'intuozità aumenta col grado di omogeneità, col volume molecolare, con l'assorbozione delle molecole

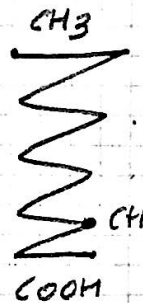
Se epilamini sono solide (non c'è moto relativo atomi)

(con Trillet)

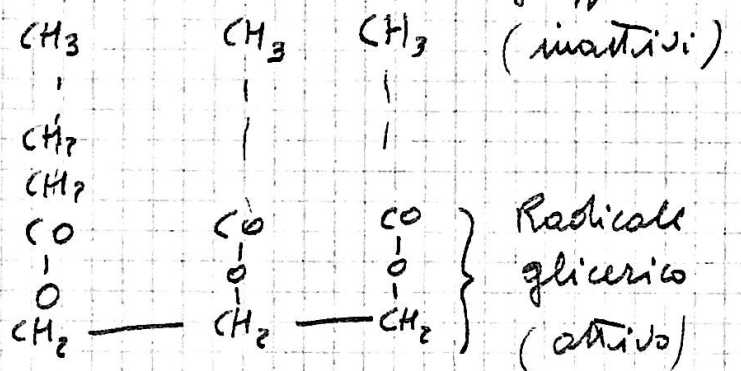
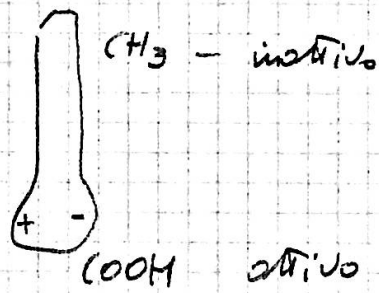
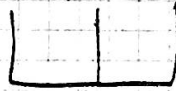
① la oleozità è allo stato latente
C'è solo quando l'olio viene a contatto col materiale

molecola attiva mol. non neutra nel senso $\begin{pmatrix} + \\ - \end{pmatrix}$ dipolo (7)

le molecole sono di questo tipo:

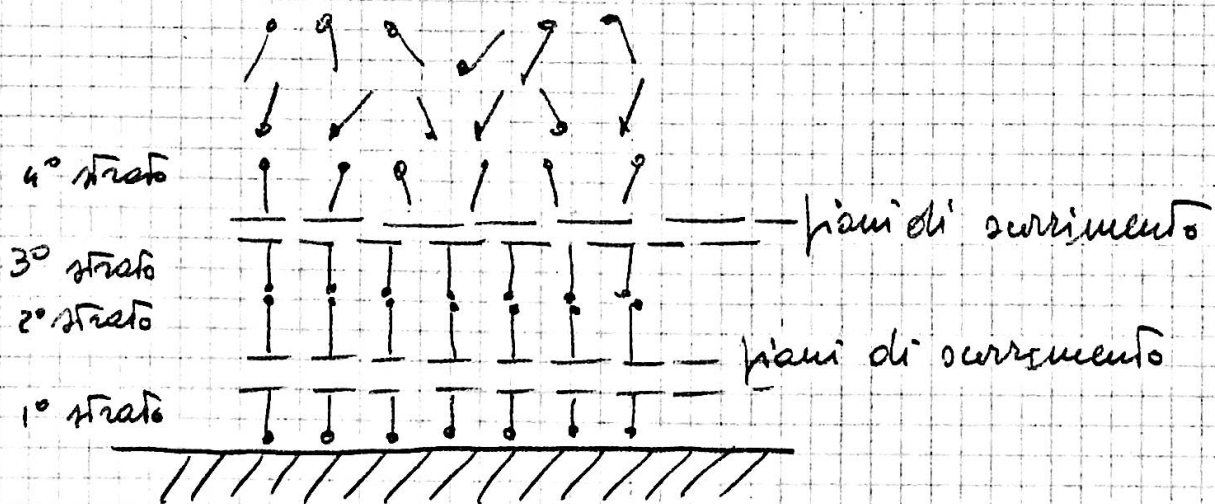


oppure



Costituzione epilamme

si forma per strati monomolecolari assorbiti dalla superficie
 (dovuti al campo elettrico della superficie)



altezza molecolare $30 \text{ \AA} = 30 \cdot 10^{-7} \text{ mm}$

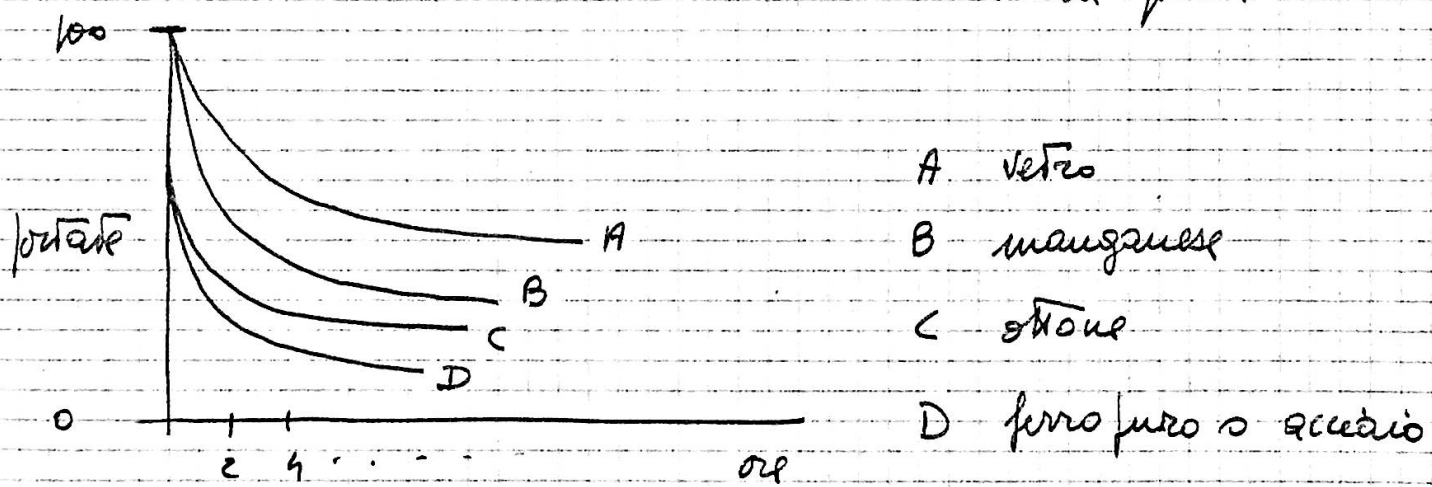
epitamina $\approx 100 \text{ \AA}$

l'epitamina si può raccapponere per compressione

" " " " lacrogeni per grani di sifilite

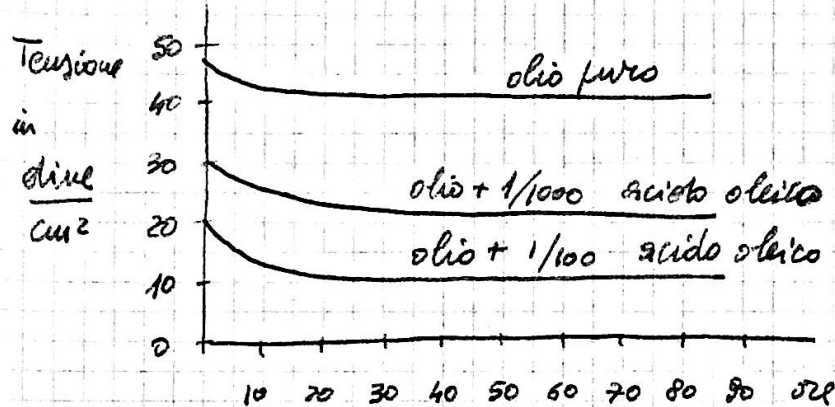
⇒ il fenomeno di "Claggia" (struzione molecolare)

con ferro di $3/10 \text{ mm}$ si hanno i seguenti grafici
delle potenze



(8)

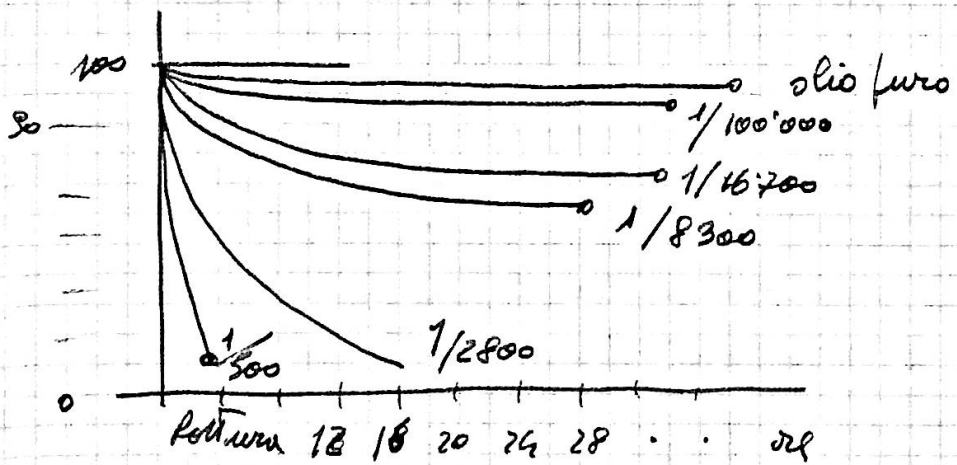
Se mettiamo una goccia di olio su acqua e misuriamo la Tensione superficiale osserveremo



l'olio si diffondono sull'acqua formando uno strato adsorbito
questo metodo è molto sensibile (rivelà la presenza di $1/100\,000$ di attivante)

l'alterazione di un olio si manifesta anche con una diminuzione della tensione superficiale

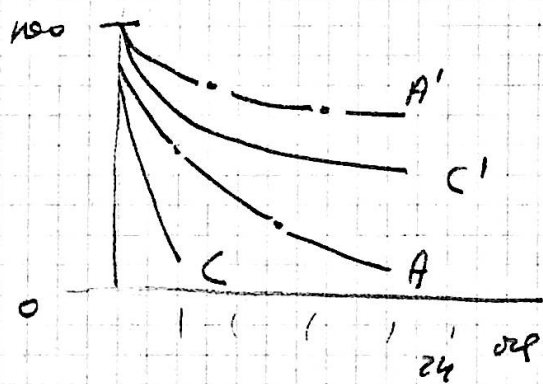
Il Trillas ha fatto i seguenti: grafici sperimentalmente (una parte sono fatti per interpolazione)



peso un olio ad es. $\frac{1}{3000}$ si butta in uno sfera di metallo
che adsorbe una parte di molecole attive \rightarrow l'olio rimane

impermeabile; sul grafico Freo (maggiori per interpolazione) la curva γ - \Rightarrow posso calcolare il μ^* di mol. adsorbibile

• L'esperienza è significativa se fatta con un filtro, componente indispensabile per i motori: esso impedisce l'elio di componenti attivi -



con un filtro si ha da
 $C \rightarrow C'$
 $A \rightarrow A'$

analoghi risultati si hanno per filtrazione per capillarità con uno stesso filtro

Gli idrocarburi paraffinici formano una epilamina per influenza elettrostatica, ma essa è fin d'otto debole \Rightarrow

\Rightarrow si rende necessaria la attivazione degli oli minerali

si aggiunge tanto attivante quanto basta per formare la epilamina - Eccesso è dannoso perché le molecole attive sono instabili e sono facili a ossidazione e irraggiamento

attivanti

acido oleico

esteri di acidi organici

nitrili alifatici

nitro-aromatici

amine

complessi dello zolfo

gli idrocarburi di una stessa serie pur differente molto per proprietà fisiche hanno molte somiglianze direttamente

- stabilità chimica
- alto indice di viscosità (piccole cadute di viscosità all'aumentare di)
- attività o polarità molecolare (minimo di elevata oleosità)

elementi strutturali importanti

grado di saturazione delle molecole (è il fattore della stabilità
ma contro la oleosità)

Tenore in idrogeno (favoreisce la stabilità e l'indice di viscosità)

conformazione catene atomiche se aperte e' più stabile (influisce sulla stabilità)

i paraffinici abbondano in Pennsylvania

i naftenici " " California (Gulf Coast)

le olefine

brammo il tenore in H_2 dei naftenici ma sono struttura e catena aperte: sono un ottimo combusto

messo

gli asfalti sono i peggiori: catena chiusa

minimo tenore in idrogeno
insaturazione

Miglioramento superfici

1) attivazione con sulfurazione e carburazione

- lo zolfo si può mettere nell'olio o nella ferro
- per operazioni di taglio si usa olio sulfato emulsionsi in H_2O
- si può mettere ~~the~~ grafite colloionale nell'olio : colpisce i vani e già da se è un lubrificante solido

2) nitrurazione con piccole percentuali di cromo

Additivi per lubrificanti

3) antiossidazione (si formano bromidi molto attivi)

si usano composti aromatici con fosforo e zolfo

anticatalitici (possono avvenire reazioni catalizzate dello zolfo presente nell'olio)

si usano passicatori che formano uno strato isolante sulle parti metalliche

si usano composti aromatici dello zolfo e del fosforo

c) anticorrosione (è dovuta soprattutto agli acidi prodotti dalla ossidazione o dalla combustione dei carburanti) (10)

infeltriscono alle sostanze corrosive di toccare il metallo

d) basso indice di viscosità:

si usano polimeri oleofatici che formano uno struttura molecolare a rete - Se T aumenta i polimeri si allungano aumentando la difficoltà di movimento dell'olio -

Se T diminuisce snedde il contrario

e) detergenti HD (Heavy Duty)

staccano dalle superfici i depositi carboniosi e le lucide prendendoli in sospensione fine

si usano composti organici di metalli alcalini

f) antiscorrimento (molto usati in lubrificazione a ferdità)

si usano polimeri ad alto peso molecolare

g) bassi carichi elevati (E P estreme pressioni)

si usano composti dello zolfo, chzo, fosforo, piombo →

si forma uno strato di zolfini

molto usati per gli ingranaggi

h) antiurto tutto ciò che aumenta la oleosità

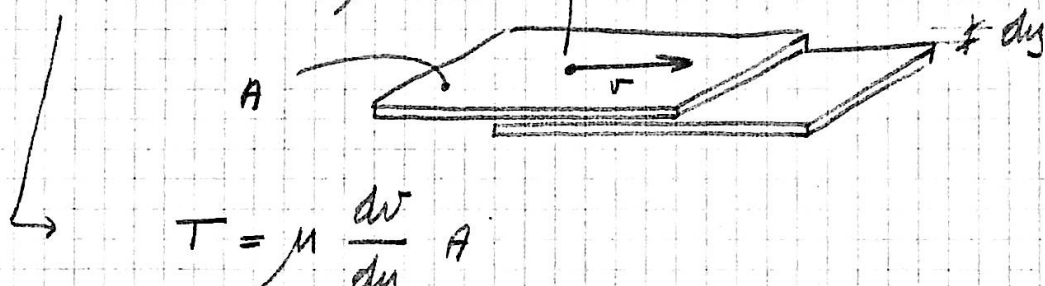
Attito fluido o Viscosità

Liqui da pochi centesimi di mm a pochi decimi.

solido \approx centimillesimi di mm.

Viscosità

Viscosità assoluta μ



$$\tau = \mu \frac{dy}{dx} A$$

In usa $\frac{\text{kg} \cdot \text{sec}}{\text{m}^2}$ o $\frac{\text{dine} \cdot \text{sec}}{\text{cm}^2}$ = poise o centipoise

$$\mu = [L^{-1} M T^{-1}]$$

per misurare μ si usano viscometri assoluti:

- Paigiani (liquido attraverso capillari) si fonda sulla legge di Poiseulle
- Hépler e caduta di sfera in un tubo con diam. poco maggiore (mis. il tempo di caduta)

$$\frac{\mu}{\delta} = \text{viscosità cinematica} [L^2 T^{-1}]$$

nel cgs si esprime in stokes (nella il centistokes)

nei calcoli molto usato è il $\frac{m^2}{s} = 10000$ stoke.

(11)

Per la pratica si usa la viscosità relativa (per confronto con un campione)

a) si misura in gradi Engler = rapporto tra il tempo di colata di 200 cc di H_2O a $20^\circ C$ e quello di 200 cc di olio alla temperatura T (l'apparecchio è standardizzato)

b) si misura in gradi Saybolt = Tempo di colamento di 60 cc di olio a quella T

Le tabelle che consentono il passaggio da l'uno a l'altro la più importante formula è

$$\mu = (0,00076 E^\circ - \frac{0,00064}{E^\circ}) \gamma$$

γ peso specifico
 $\mu [\frac{kg \cdot sec}{m^2}]$

Viscosimetro di Engler

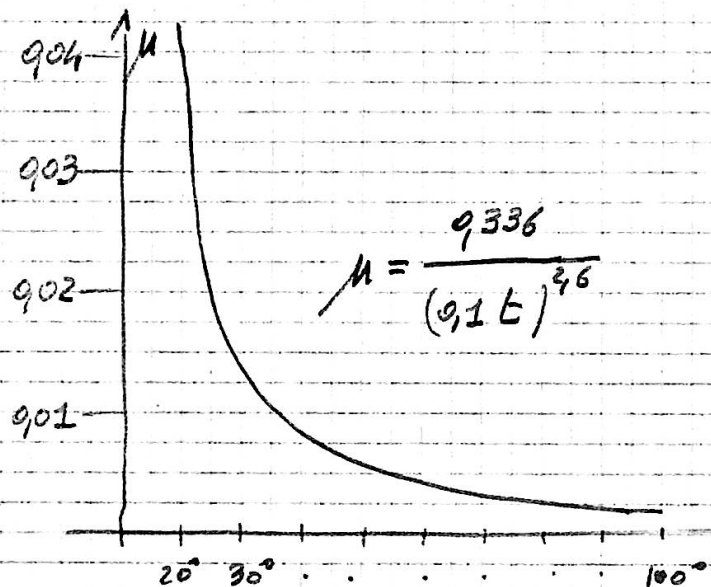
- 1) Per funz. diamo il giusto livello
- 2) Tue hore che non elevano diffusione fin' di $\frac{1}{2}$ secondi
- 3) il bekers di scorrere si tiene leggermente fin' calolo
- 4) $T \approx 50 \div 52$ secondi
- 5) l'olio deve essere filtrato con un filtro 1000 maglie/cm²

per $T > 100^\circ$ si usa Xilolo o emilina.

Viscosità e Temperatura

per gli oli la diminuzione è più rapida alle basse e moderate temperature e più lenta verso le alte

in grafico

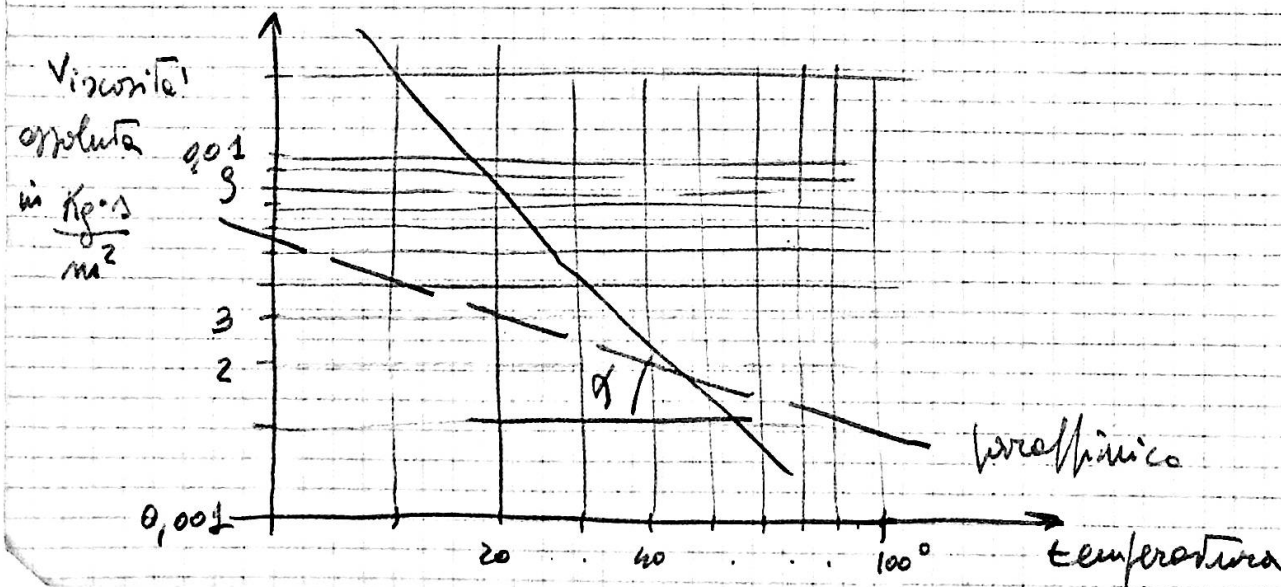


in generale

$$\mu = \frac{i}{(0,1 t)^{2,6}}$$

i : difende dell'olio

in un diagramma logaritmico si ha una retta con $\alpha \approx 68^\circ$
in realtà α non è così ma dipende dalla natura e provenienza
e dal processo di raffinazione



fin' la rete e' fatta fin' e' preferibile l'olio

Indice di viscosità

1) diciamo $V = \text{viscosità a } 100^{\circ}\text{F}$ in Saybolt

" $V = \text{" " } 210^{\circ}\text{F} \text{ " "}$

2) l'olio e' tanto migliore quanto fin' buono e' $\frac{V}{U}$

3) preso un olio paraffinico (Pennsylvania) di viscosità H a 100°F .
e V a 210°F , esso e' caratterizzato da $\frac{H}{V}$

a) preso un olio naftenico (Gulf Coast) con L secondi a 100°F
e V secondi a 210°F , esso ha un rapporto $\frac{L}{V}$

definiamo indice di viscosità $I = 100 \frac{\frac{L}{V} - \frac{U}{V}}{\frac{L}{V} - \frac{H}{V}} = \boxed{100 \frac{L-U}{L-H} = I}$

V variabile in gioco

\Rightarrow il paraffinico ha $I = 100$

" naftenico ha $I = 0$

NB si possono avere anche valori negativi ($U > L$)

Polo di viscosità e altezzaolare degli oli

Ubbelohde usa

$$\log \cdot \log (V+0,8) = m (\log T_2 - \log T) + \log \log (V_1 + 0,8)$$

V = viscosità cinemática alla temp. T

V_1 " " " " " T_2

in un diagramma $\log T$, $\log \log (V+0,8)$ si ha una retta-

si ha:

① oli della stessa serie si incontrano in un polo alla sinistra del diagramma
(la sua ordinata è l'altezzaolare)

② i vari poli delle varie serie stanno su una retta (retta dei poli)



a) oli della stessa serie hanno stesso polo e altezzaolare, possono differire per inclinazione

b) oli di varie diverse possono differire per altezzaolare e costante di direzione

- nelle stesse serie sono preferibili quelli con minor coeff. singolare
- in serie diverse quello che è ferito di viscosità ad una data temperatura, presenterà minor altezzaolare

Questo metodo non è generale (vale con viscosità inferiore a 20 centistokes a 50°C) non vale per oli raffinati con solventi selezionati.

Viscosità e pressione

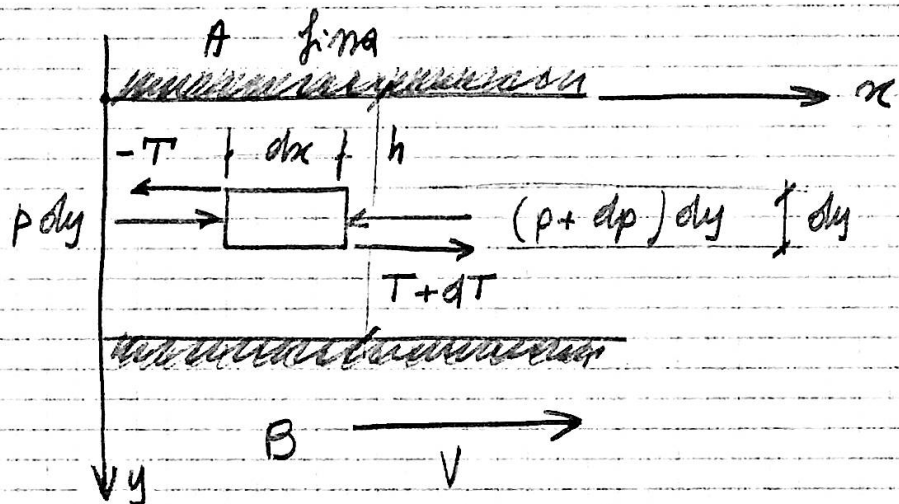
come p aumenta molto. Si sente se $p = 300 \text{ kg/cm}^2$
gli oli minerali sono più sensibili degli altri.

Teoria Idrodinamica

1) si suppone che il movimento avvenga per filetti paralleli
 cioè in moto laminare

2) i due strati estremi hanno le velocità delle superfici

Premiere e grad p lungo il mezzo



a) l'estensione lungo z non ha importanza
 (si suppone indip. da z) sufficiamo di prendere z=1

b) sufficiamo $p = \text{cost}$ su una sezione \Rightarrow

$\Rightarrow p$ è funzione solo di x

le forze in gioco sono $p \text{ dy}$ $(p + dp) \text{ dy}$

con risultante $-dp \text{ dy}$

(14)

con Petrowff

$$T = \mu \frac{dx}{dy} \frac{dv}{dy}$$

$$T + dT = \mu \frac{dx}{dy} \frac{dv}{dy} + \frac{d}{dy} \left(\mu \frac{dx}{dy} \frac{dv}{dy} \right) dy = \\ = \mu \frac{dx}{dy} \frac{dv}{dy} + \mu \frac{d^2 v}{dy^2} dx dy$$

con risultante

$$\mu \frac{d^2 v}{dy^2} dx dy$$

facendo il bilancio

$$- \frac{dp}{dy} + \mu \frac{d^2 v}{dy^2} dx dy = 0$$

da cui

$$\boxed{\frac{dp}{dx} = \mu \frac{d^2 v}{dy^2}}$$

 $\frac{dp}{dx}$ = gradiente di pressione

a) se $\frac{dp}{dx}$ è nullo v varia in ogni sezione linearmente
(diagramma triangolare)

b) integrando $\frac{d^2 v}{dy^2} = \frac{p'}{\mu}$ $\frac{dv}{dy} = \frac{p'}{\mu} y + c_1$

$$v = \frac{p'}{2\mu} y^2 + c_1 y + c_2$$

con le condizioni al contorno

$$\begin{array}{ll} \text{per } y=0 & \sigma = 0 \\ y=h & \sigma = V \end{array} \quad \Rightarrow$$

$$\Rightarrow \cos\sigma = \frac{V}{h} - \frac{\rho'}{2\mu} \frac{h^2}{4} = \frac{V}{h} - \frac{\rho' h}{2\mu}$$

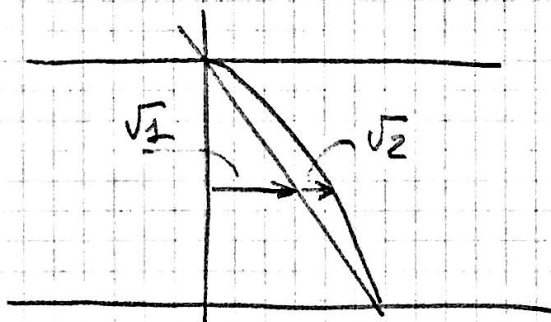
$$\sigma = \frac{\rho'}{2\mu} y^2 + \left(\frac{V}{h} - \frac{\rho' h}{2\mu} \right) y = \underbrace{\frac{V}{h} y}_{v_1} - \underbrace{\frac{\rho'}{2\mu} (h-y)y}_{v_2} \quad *$$

$$v_1 = \frac{V}{h} y = \text{velocità di trascinamento}$$

$$v_2 = \frac{\rho'}{2\mu} (h-y)y = \text{velocità di regresso}$$

come si vede dalla * se $\rho' > 0$ v_2 va sottratta

" " $\rho' < 0$ v_2 va sommata



(15)

$$\text{portata } \varphi = S V_m \quad \text{ma } \text{oppo } S = h \cdot 1 = h \Rightarrow$$

$$Q_1 = h \frac{V}{2} \quad Q_2 = h \frac{2}{3} W$$

dove $W = \underline{\text{max vol. velocità di regresso che si ha per } y = \frac{h}{2}}$

l'ordinata media di un segmento parabolico è $y = \frac{2}{3}$ della
ordinata max (W) $\rightarrow \cancel{\text{area}} \overset{V_m}{\cancel{\text{area}}} \text{ e' } \frac{2}{3} W$

$$\text{quando } y = \frac{h}{2} \text{ si ha } W = \frac{1}{8\mu} p' h^2$$

$$\text{allora } Q_2 = h \frac{2}{3} W =$$

$$\varphi = Q_1 - Q_2 = \frac{hV}{2} - \frac{p' h^3}{12\mu} \quad \text{ricavando } p'$$

$$p' = \frac{\partial P}{\partial x} = - \frac{6\mu}{h^2} \left(\frac{2\varphi}{h} - V \right) = \frac{6\mu}{h^2} \left(V - \frac{2\varphi}{h} \right)$$

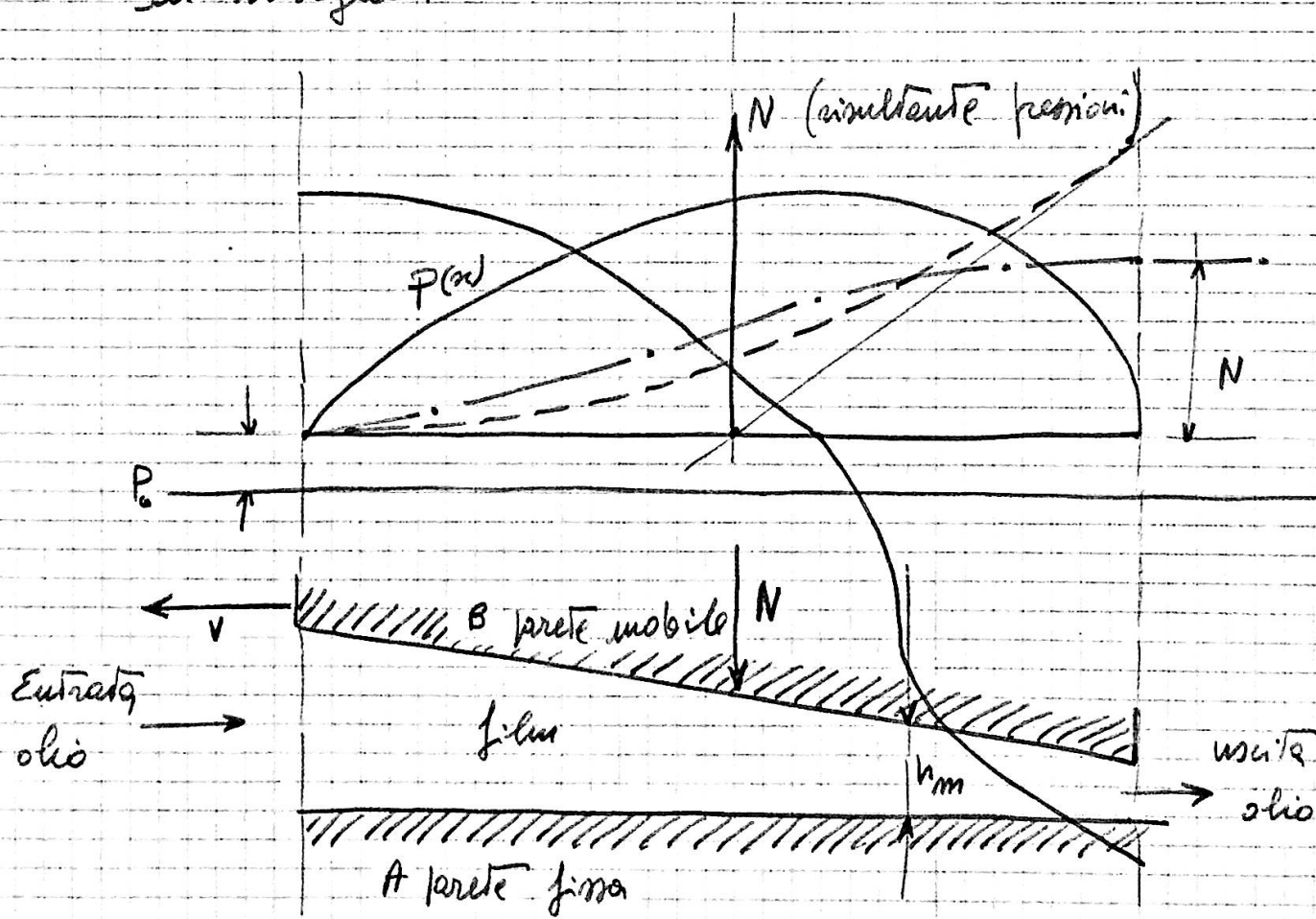
$$p' > 0 \quad \text{se} \quad V > \frac{2\varphi}{h}$$

$$\text{cioè finché } V_m = \frac{V}{2} > \frac{\varphi}{h}$$

- supponiamo le pressioni all'ingresso e all'uscita uguali \Rightarrow
- fra 0, l (il lunghezza massima) p avrà un max
 - l'area sotto dai gradienti deve essere nulla
 - infatti $\int p' dx = P(l) - P(0) = 0$
 - inoltre $N = \int p(x) \cdot dx \cdot 1$

per trovarne la retta di azione si integra ancora e si intersecano le 2 estreme

In disegno:



(16)

quanto detto pu' verificarsi in un mezzo con le cost. solo se φ e' variabile con x , infatti poiché $V = \text{cost}$ poiché

$$p' = \frac{6M}{h^2} \left(V - \frac{2\varphi}{h} \right)$$

$$\varphi = \text{cost}$$

$h = \text{cost}$ non possono ~~essere~~
coesistere

poiché se avrebbe $p' = \text{cost}$, cioè p' lineare in x \Rightarrow

$$\Rightarrow p_{\text{iniziale}} \neq p_{\text{finale}}$$

dalla figura si vede che p' e' crescente in y

poiché $y \propto \frac{1}{h}$ { p' e' decrescente in h
 deve essere: p' e' crescente in φ

se si vuole un esperimento come quello in figura (con $p_i = p_f$)

la soluzione che si adotta e' quella di dividere lo spazio in modo che gli alberi rotanti si disporranno naturalmente in queste posizioni.

Moto sinusso nei meati a sezione variabile

Studieremo dove la pressione è max:

$$p' = \frac{-6\mu}{h^2} \left(\frac{2\varphi}{h_m} - V \right) = 0$$

$$\text{da cui } \varphi = \frac{V h_m}{2}$$

$$\text{sostituendo in } p' = \frac{6\mu}{h^2} \left(V - \frac{2\varphi}{h} \right) \text{ otteniamo}$$

$$p' = \frac{\partial p}{\partial y} = -\frac{6\mu V}{h^2} \left(\frac{h_m}{h} - 1 \right)$$

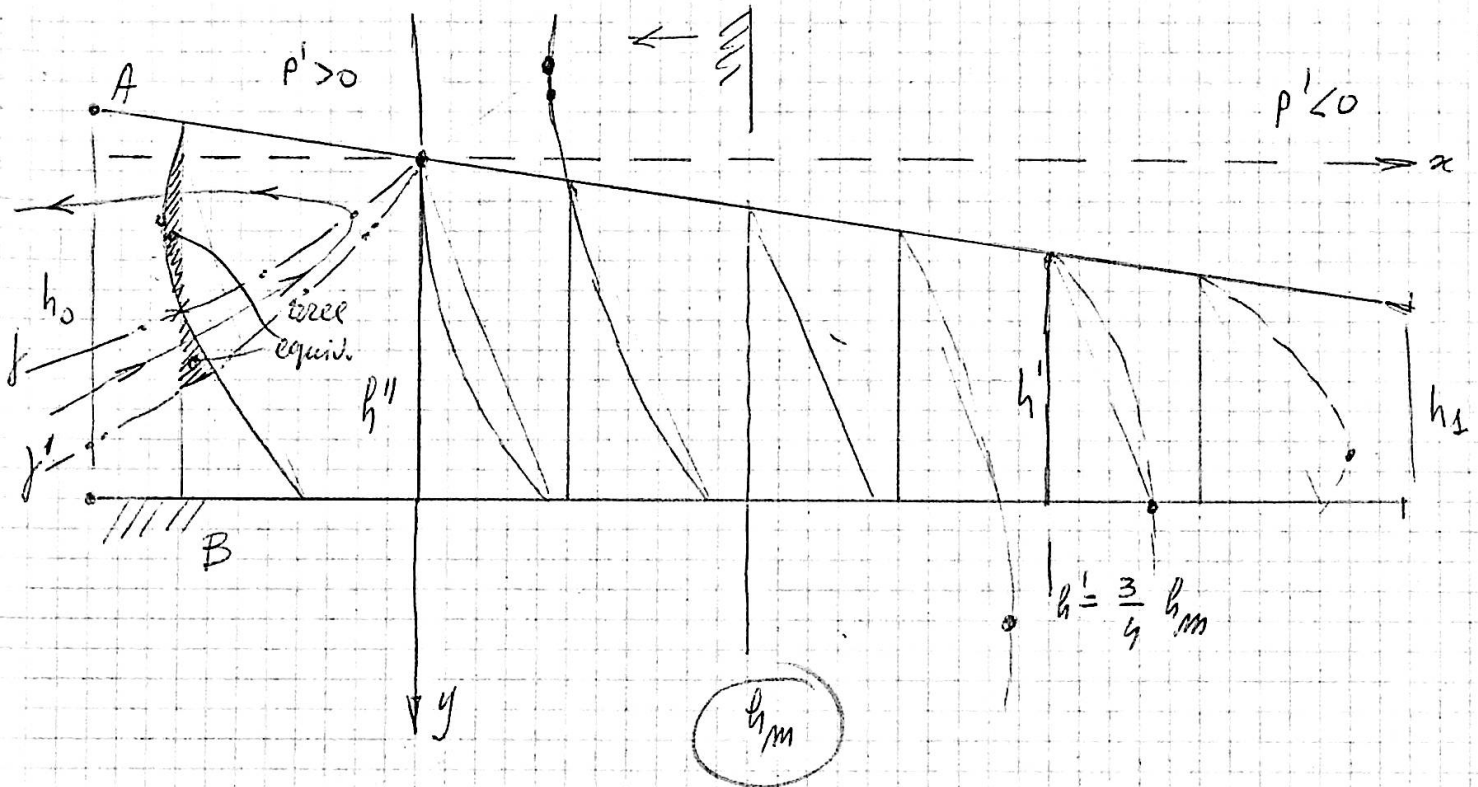
ricordiamo che l'area realizzata dal diagramma delle velocità esprime la potere (se la profondità è 1)

$$\text{riconosciamo che } \delta = \frac{V}{h} y - \frac{1}{2\mu} p' (h-y)y$$

vedi che se $p' = 0$ (cioè $h = h_m$) il diagramma delle velocità è triangolare

* riconoscendo $p' = -\frac{6\mu V}{h^2} \left(1 - \frac{h_m}{h} \right)$

individuiamo h''



$$h'' = \frac{3}{2} h_m = 2h'$$

poiché $\sigma = \frac{V}{g} y - \frac{P'}{\rho g} (h-y) y$ per trovare il luogo dove il vertice sia in A, si pone nillo il termine di 1° grado

cioè $\frac{V}{g} - \frac{P' h}{\rho g} = 0 \Rightarrow h'' = \frac{3}{2} h_m$

dove n è ricordato che $P' = - \frac{64 V}{\rho g} \left(\frac{h_m}{g} - 1 \right)$

Se uniamo i fili di intersezione delle verticoli con le sel. ottengono la zona di corrente regressiva.

Se traccio i fili di corrente segnati ha la zona di olivella

Tutto il resto costituisce il filo profondamente detto

Efficiente di attrito cinetico fra superfici in lubrificazione fluida

in bar $f_c = \frac{T}{N}$

Vediamo di trovare T e N

$$p(x) = \int_0^x \frac{\partial p}{\partial x} dx = -6\mu V \int_0^x \frac{1}{B^2} \left(\frac{h_m}{B} - 1 \right) dx$$

rendiamo adimensionale l'integrale ponendo $x = \xi$ e ϵ
molti dividendo per $\frac{h_m^2}{B^2}$

$$p(x) = -\frac{6\mu V \ell}{h_m^2} \int_0^1 \frac{1}{B^2} \left(\frac{h_m}{B} - 1 \right) d\xi$$

$\underbrace{}_{B^2}$

in bar $p(x) = -\frac{6\mu V \ell}{h_m^2} B^2$

Caleolo di N

$$N = \int_0^\ell p(x) dx = -\frac{6\mu V \ell}{h_m^2} \int_0^\ell B^2 d\xi = -\frac{6\mu V \ell^2}{h_m^2} \overline{B}^2 *$$

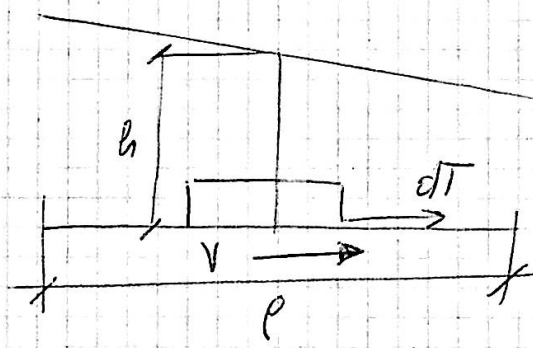
N.B. \overline{B}^2 è un valore efficace

(18)

Calcolo di T

con Petrow.

$$dT = \mu \left(\frac{dv}{dy} \right) dy \quad |_{y=h}$$



derivando la $v(y)$ che avevamo: $\frac{dv}{dy} = \frac{V}{h} - \frac{p'}{2\mu} (h-2y)$

collolandola per $y=h$ $\left(\frac{dv}{dy} \right)_{y=h} = \frac{V}{h} + \frac{p'h}{2\mu}$

sostituendo nella \circ

$$dT = \mu \left(\frac{V}{h} + \frac{p'h}{2\mu} \right) dx = \mu \left[\frac{V}{h} - \frac{3V}{h} \left(\frac{h_m}{h} - 1 \right) \right] dx = \frac{\mu V}{h} \left(4 - 3 \frac{h_m}{h} \right) dx$$

poniamo $\xi = \frac{h}{h_m}$ per rendere adimensionale l'integrale

$$T = \frac{\mu V}{h_m} \int_0^l \frac{h_m}{h} \left(4 - 3 \frac{h_m}{h} \right) dx = \frac{\mu V l}{h_m} \underbrace{\int_0^1 \frac{h_m}{\xi} \left(4 - 3 \frac{h_m}{\xi} \right) d\xi}_{C}$$

cioè $T = \frac{\mu V l}{h_m} C$

$$\Rightarrow \frac{1}{b_c} = \frac{T}{N} = - \frac{h_m}{6\mu} \frac{C}{B^2}$$

ricavo $\frac{h_m}{\mu}$ dalla \star e sostituisco

$$f_c = \frac{C}{B^2} \sqrt{\frac{6 \mu V}{N}}$$

Ponendo $A = \frac{C}{B^2} \sqrt{6}$ si ha

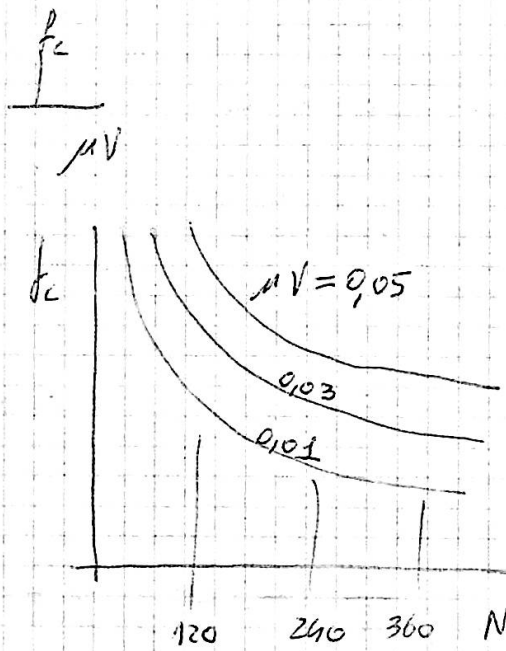
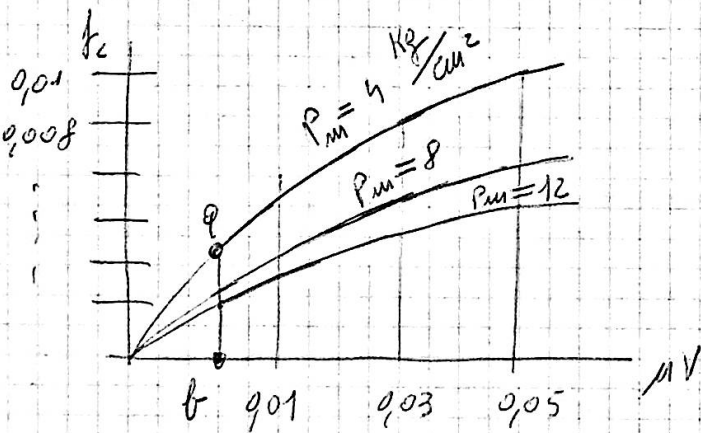
?

$$f_c = A \sqrt{\frac{\mu V}{N}} \quad \text{formula di Regnault}$$

Sicché la formulazione è un'intera $N = P_m \cdot l \rightarrow$

$$f_c = A \sqrt{\frac{\mu V}{P_m \cdot l}}$$

si solito si scrive con



di qui si deduce che

al crescere del carico diminuisce il coefficiente di attrito, $H \mu V$;

al crescere di μV (quindi di V), aumenta f_c e il carico esterno

ma anche se f_c diminuisse non diminuisce il lavoro perduto;

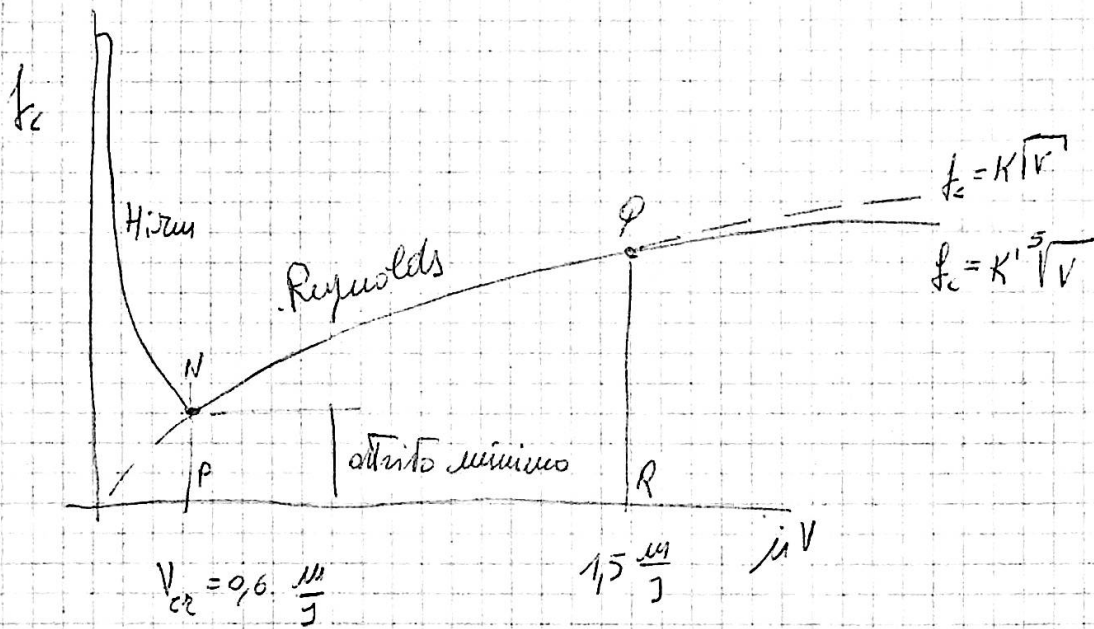
$$\text{la potenza è } L = TNV = f_c NV = A \sqrt{\frac{UV}{N}} NV = A \sqrt{UV^3 N} \quad (18)$$

N.B. la legge di f_c non vale più per piccoli valori di UV

in particolare per dimensioni molto elevate deve essere $V > 0,6 \frac{m}{s}$.

0,6 è il valore critico

L'esperimento permette di completare il grafico



$$\text{per } V > 15 \frac{m}{s} \text{ si ha } f_c = 0,0043 V^5$$

e pericoloso misurare in regime troppo vicino a quello di f_c minima
per non rischiare di vedere per qualche irregolarità nella parte di
regime ~~stato~~ fluido instanzioso o scintillante

Anche l'aria (nella dimostrazione comporta come un alto profilo velocità)

Sublimazione a grano

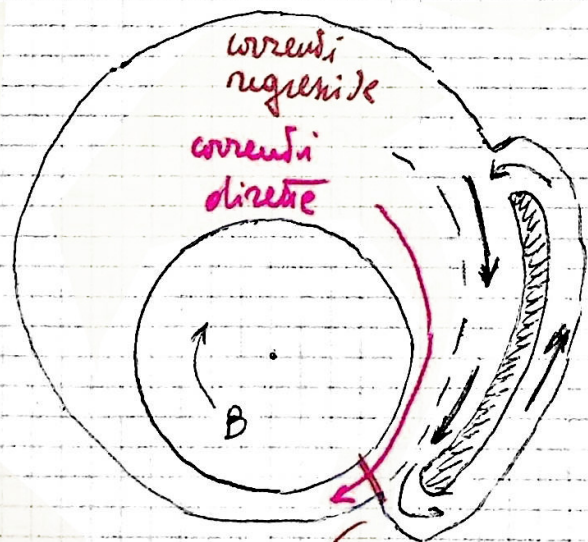
in mani

- 1) quando non si fa uscire olio
- 2) con superfici grossolane
- 3) superfici esterne del pallino
- 4) quando non viene sciolto lubrificante (fibre...)
- 5) quando le temperature di funzionamento sono elevate

Modo di seguire del grano

Si è scoperto di seguire bene le leggi della teoria idrodinamica (il moto avviene per filoni paralleli)

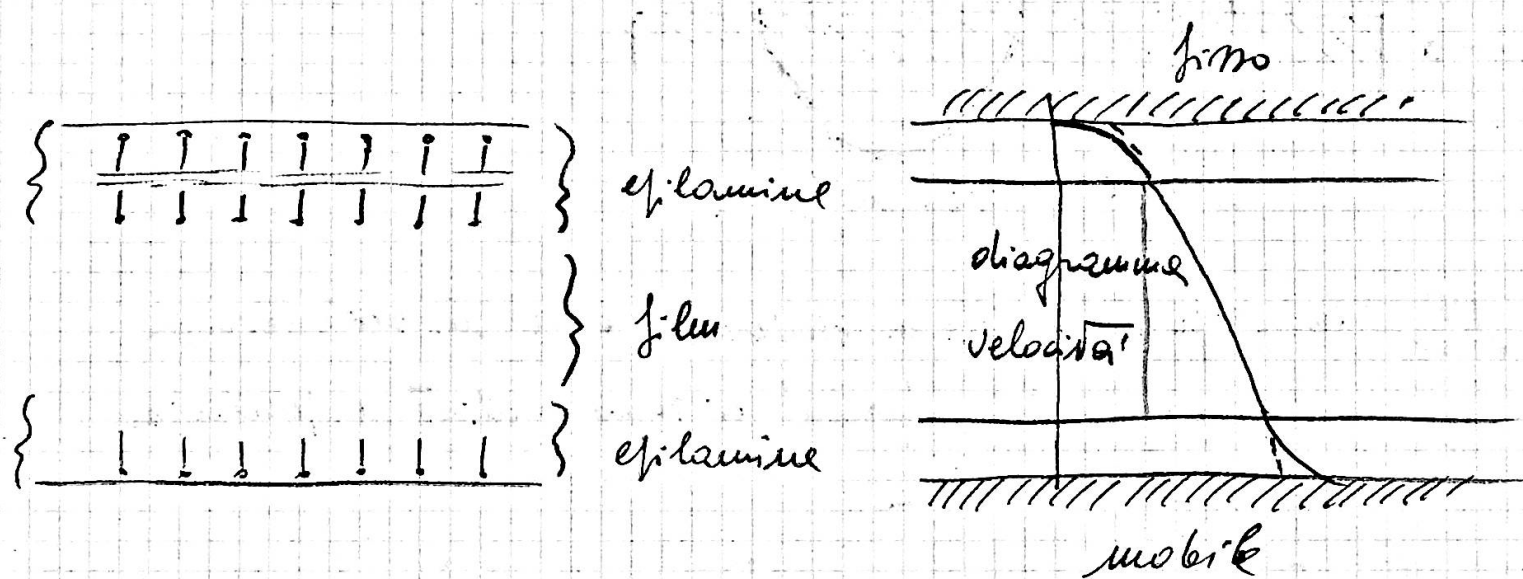
Si nega questa idea e si fa una forte contrapposizione per ottenere un filo solido e in cui non siano presenti correnti regressive (in figura)



"h" in modo che forni solo la diretta

Partecipazione antinottata al regime fluido

ad un esame approfondito si vede che succede così:



si puo' dire che l'antinottata riduce la viscosita vicino alle pareti \rightarrow in pratica si ha una diminuzione del coefficiente di attrito

Surfacinge colpi cinematichie elementari

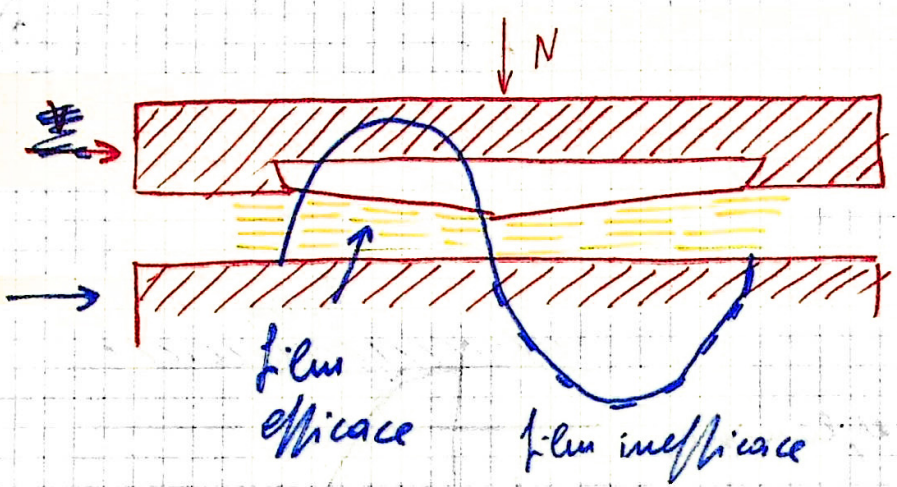
① Prismatica: le superfici sono parallele \rightarrow regime uniforme

$$0,05 < f_c < 0,1$$

$$P_m < h \div 6 \frac{Kg}{cm^2}$$

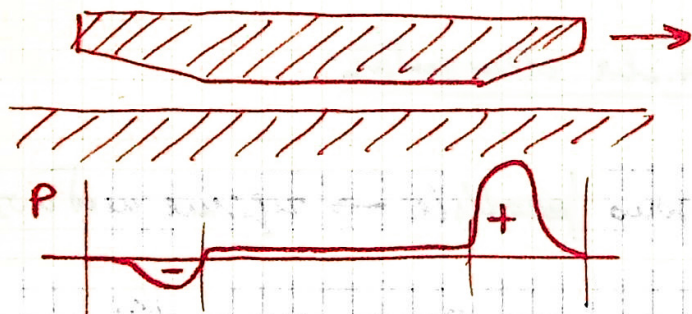
se c'e' raffreddamento si puo' arrivare a $P_m = 10 \frac{Kg}{cm^2}$

Vediamo i rimedi



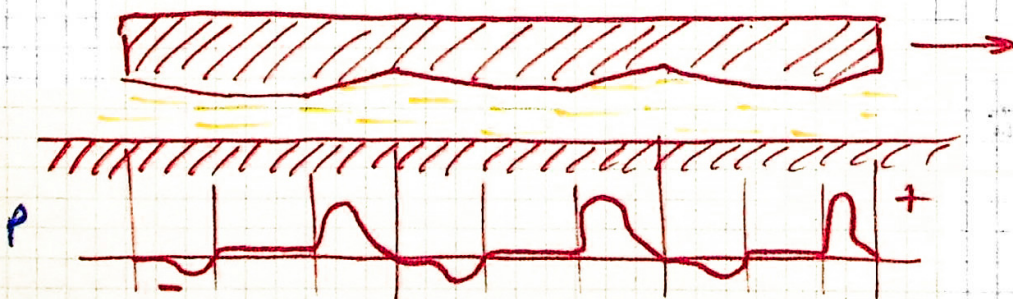
NB la depressione che si dovrebbe avere in sede dev'essere in pratica non si ha perché ci sono perdite e perché si formano vapori d'olio -

Questa soluzione non è ottima perché non hanno rapporti nel pattino, questa va molto meglio -



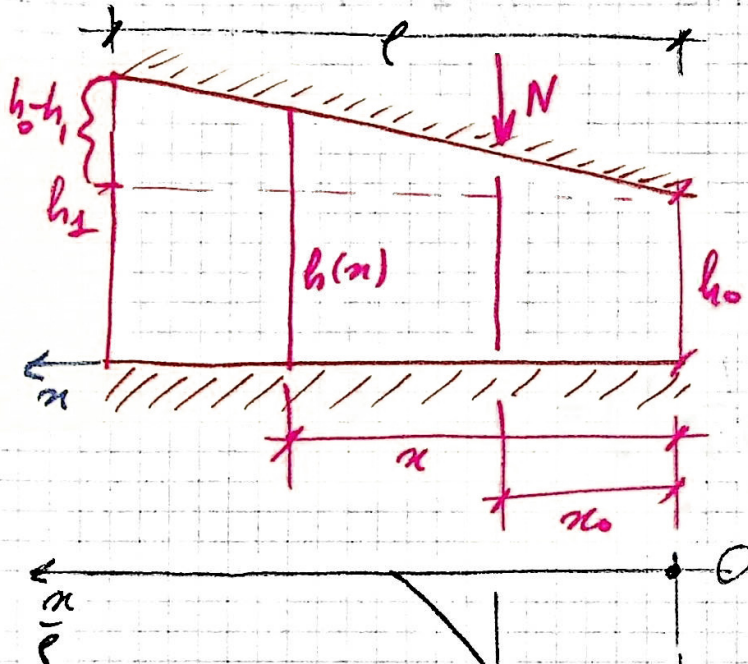
ogni m⁻² puoi avere
 $15 \frac{\text{kg}}{\text{cm}^2}$

È un altro tipo Σ di questo



Studiamo l'equilibrio. Per averlo è necessario che N (21) sia uguale e contraria alla risultante delle pressioni interne.

Studiamos in questo caso



$$\text{Poniamo } q = \frac{h_1 - h_0}{h_0}$$

- o equilibrio alla tensione verticale

$$N = \int_0^l p(x) dx$$

- o equilibrio momento stazionario 0

$$N \cdot x_0 = \int_0^l p(x) \cdot x \cdot dx$$

ricordiamo che $\frac{dp}{dx} = \frac{6\mu V}{h^2} \left(\frac{h_m}{h} - 1 \right)$

NB il segno è cambiato perché si è cambiata la direzione di x

vali $\frac{h - h_0}{h_1 - h_0} = \frac{x}{l}$

poiché' $q = \frac{h_1 - h_0}{h_1}$ $\Rightarrow h = h_0 + q h_0 \frac{x}{l} = h_0 \left(1 + \frac{qx}{l} \right) \Rightarrow$
 $\Rightarrow dx = \frac{l}{q h_0} dh$

Calcoliamo l'integrale

$$\begin{aligned} p(x) &= \int_0^x \frac{dp}{dx} dx = \frac{\ell}{\pi h_0} \int_{h_0}^h \frac{dp}{dx} dh = \frac{\ell}{\pi h_0} 6\mu V \int_{h_0}^h \left(\frac{h_m}{h^3} - \frac{1}{h^2} \right) dh = \\ &= \frac{6\mu V \ell}{\pi h_0} \left[\frac{1}{4} - \frac{h_m}{2h^2} \right]_h_{h_0} = \\ &= \frac{6\mu V \ell}{\pi h_0} \left[\left(\frac{1}{4} - \frac{1}{h_0} \right) - \frac{h_m}{2} \left(\frac{1}{h^2} - \frac{1}{h_0^2} \right) \right] = 0 \\ &= \frac{6\mu V \ell}{\pi h_0} \left(\frac{h_m}{2} \cdot \frac{h^2 - h_0^2}{h^2 h_0^2} - \frac{h - h_0}{h \cdot h_0} \right) \quad * \end{aligned}$$

poiché per $h = h_1$, $p(x) = 0$ si ha

$$h_m = \frac{2h_1 h_0}{h_1 + h_0}$$

sostituito nello * da' $p(x) = \frac{6\mu V \ell}{\pi h_0} \left[\frac{h_1 h_0}{h_1 + h_0} \cdot \frac{h^2 - h_0^2}{h^2 h_0^2} - \frac{h - h_0}{h h_0} \right]$

integrandi si ottiene

$$N = \frac{6\mu V \ell^2}{\pi^2 h_0^2} \left[h_1 (1+q) - \frac{2q}{2+q} \right]$$

$$N_N = \frac{6\mu V \ell^3}{\pi^3 h_0^3 (2+q)} \left[3q + \frac{q^2}{2} - (3+2q) \ln (1+q) \right]$$

e quindi

$$\frac{m_0}{\rho} = \frac{6q + q^2 - 2(3+2q) \ln(1+q)}{2q [(2+q) \ln(1+q) - 2q]}$$

il metodo pratico migliore è questo: si grafica $\frac{m_0}{\rho}$, si prende la distanza m_0 \rightarrow si trova q

Coppia rotoidale portante lubrificata

- Fricco fra ferro e cuscinetto

poniamo $g = r' - r$. g'moco radiale

$$y = \frac{r' - r}{r} \quad \text{g'moco relativo}$$

- Applicazione Teoria isohidraulica al ferro portante

ricerca legge di variazione di y al vertice del mezzo in funzione di θ

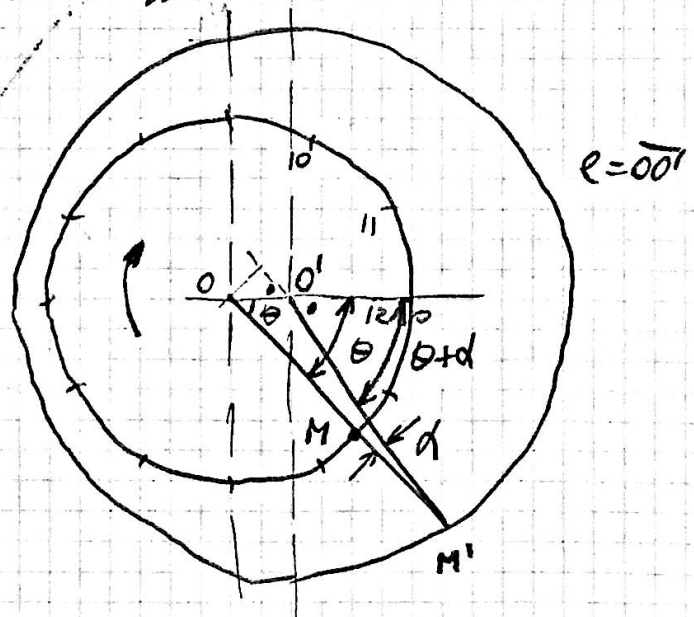
$$M'0 = r' = M'0 \cos\theta - e \cos(\theta + \alpha)$$

forche' o molto piccole:

$$\omega_r \approx 1$$

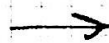
$$\omega_r(\theta + \alpha) = \omega \theta$$

$$r' = M'0 - e \omega \theta$$

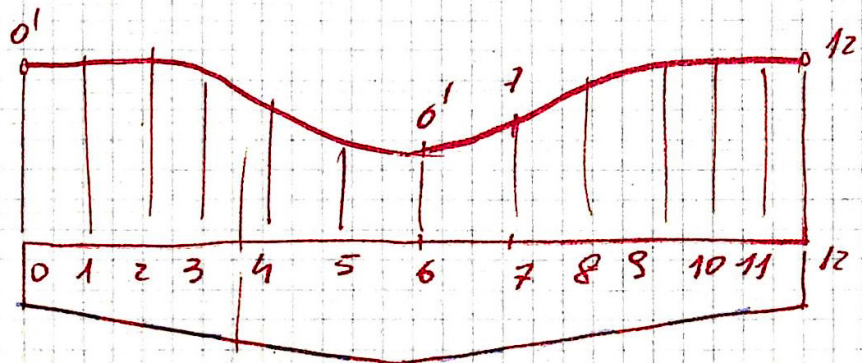


$$\text{ma } M'O = h + r \quad \text{sostituendo}$$

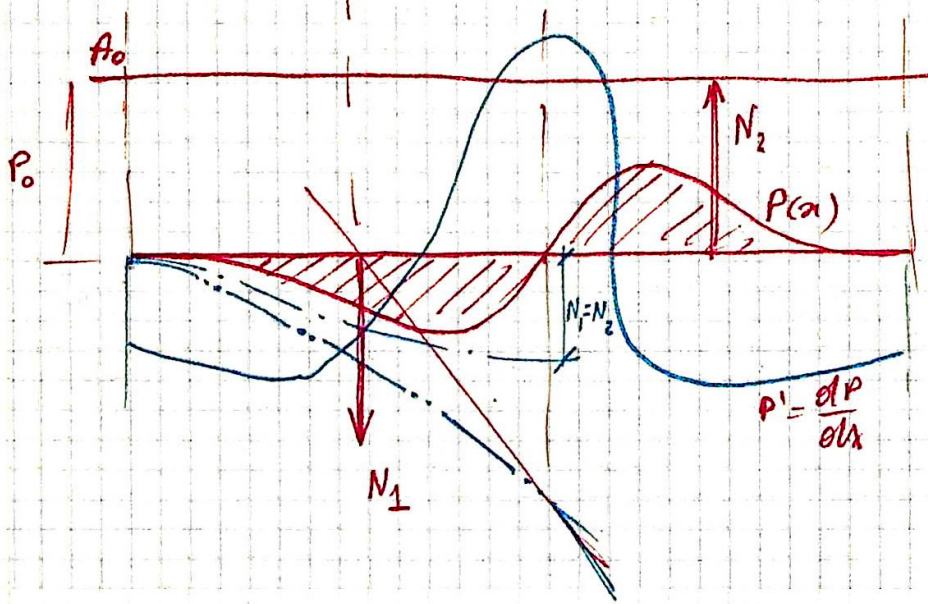
$$h = g + e \cos \theta$$



l'altezza del mezzo varia con legge sinusoidale
riattraversando la circonferenza del piano e graficando



Viaggia con' \rightarrow se sono fermi sulla banchina



N.B. data la forma molto affilata si fa' assimilare
il coseno al triangolo sottostante con valori

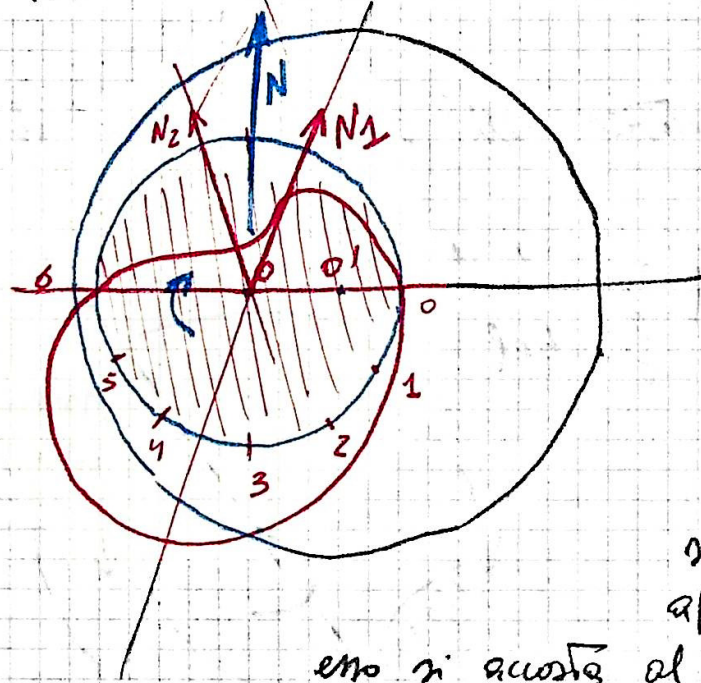
$g+e$

e $(g-e)$

quindi formiamo usare i risultati precedenti per lubrificazione (23)
fluido -

le pressioni sono positive nel tratto 0-6 negative oltre

Rappresentiamo con le pressioni : assumiamo il carico del ferro come pressione P_0 , andiamo all'esterno se sono positive ($p > p_0$) altrimenti allo interno, si ottiene



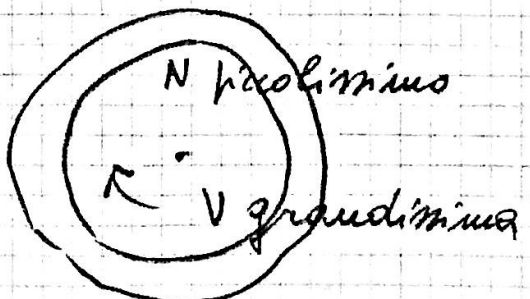
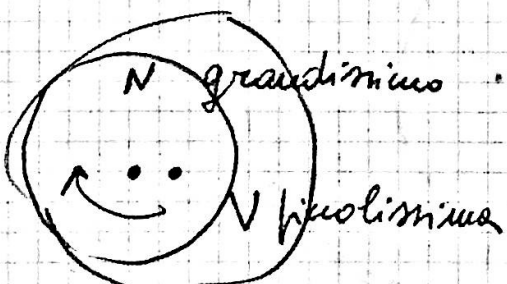
si ha che

sotto l'azione del carico N
applicato al centro del ferro
esso si avvicina al cuscinetto in direzione \perp
al carico

$$\text{Perciò } p^1 = \frac{-6 \mu V}{h^2} \left(\frac{h_m}{h} - 1 \right)$$

ad eccentricità maggiori ?
rispondono maggiori
moduli dei gradienti \rightarrow

- di conseguenza anche delle pressioni e del carico \rightarrow
- a parità di velocità l'eccentricità aumenta allo aumentare del carico



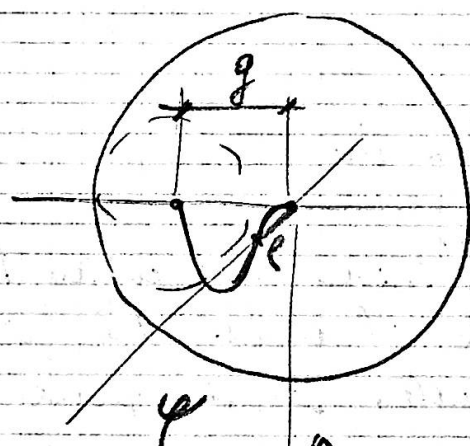
quelli della figura sono i due casi estremi

1) carico grandissimo e velocità piccolissima

2) " piccolissimo " " " " grandissima

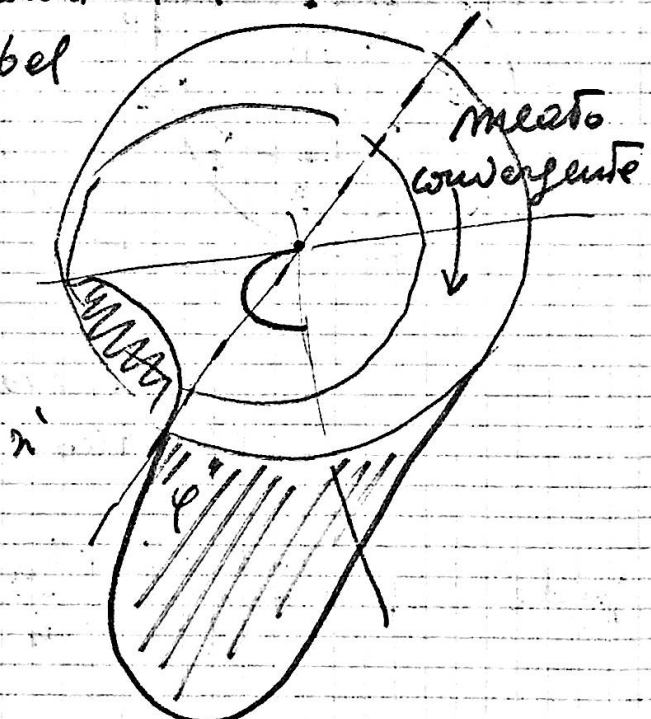
qui occorre una grande forza d'olio

Ci sono varie ipotesi sulla traiettoria dell'asse del ferro alle varie condizioni:

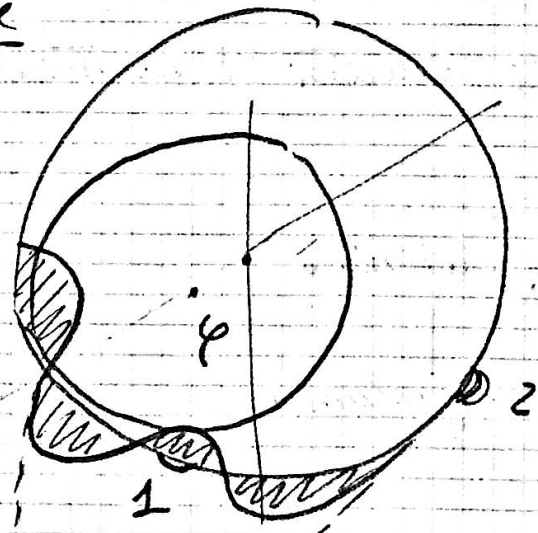


Questo
non va

Secondo il
Lumbel

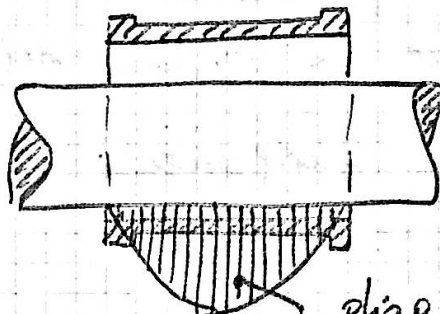


Influenza manutenzione



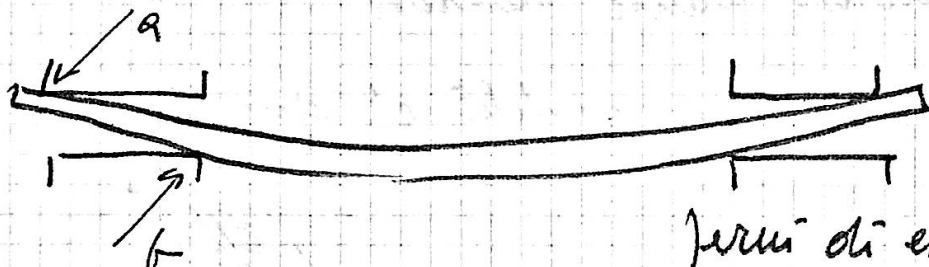
Sinflessione del rapporto $\frac{l}{d}$

Se $\frac{l}{d}$ e' piccolo si ha:

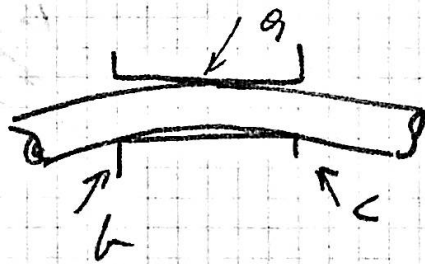


diap. pressioni

pero' se $\frac{l}{d}$ e' troppo grande si hanno forte turbamenti nell'olio e si hanno questi inconvenienti



ferri di estremita'



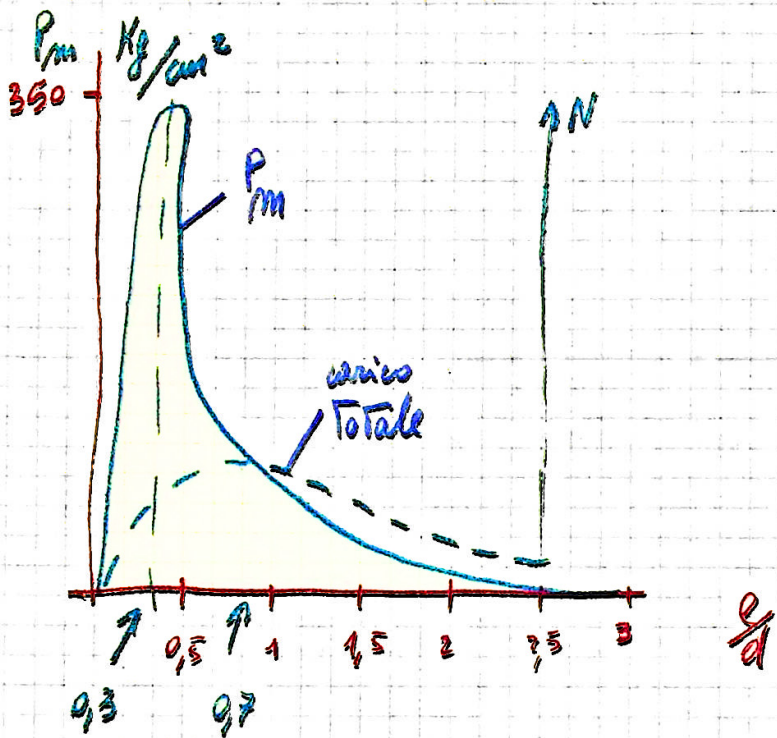
a, b, c contatti avvenuti

Nediamo di trovare il miglior rapporto $\frac{l}{d}$ -

facciamo due grafici e sovraponiamoli, da cui si vede che l'optimum sta fra 0,5 ÷ 1 (med. 0,8)

ma e' la curva di $P_m \left(\frac{l}{d} \right)$

l'altra e' "di carico max ammissibile"



Quando si usa $\frac{e}{d}$ molto grande è bene avere core auto-rientanti, montando la trave in sede sferica o su mole cilindrica.

Coefficiente d'attrito ferri fioranti

$$f_c = A \sqrt{\frac{\mu V}{N}}$$

$$\text{ma } N = P_m \pi r^2 \rightarrow$$

$$\rightarrow f_c = A \sqrt{\frac{\mu V}{P_m \pi r^2}} \quad (\text{P}_m \text{ in mega circ.})$$

$$\text{calcolando} \quad f_c = 1,7 \sqrt{\frac{\mu V}{P_m \pi r^2}}$$

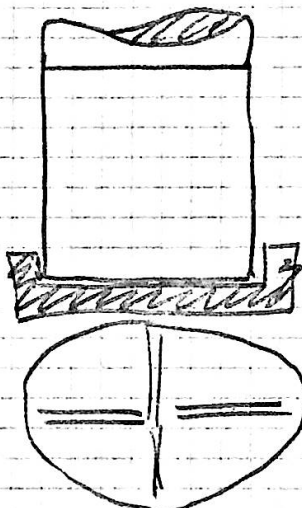
Tenendo conto della terza dimensione con fiumbel

$$f_c = 1,7 \sqrt{\frac{f_r + f}{r}} \sqrt{\frac{\mu V}{P_m \pi r^2}}$$

formula che per $\ell = 2\pi$ (molto comune) è:

$$f_c = 3,8 \sqrt{\frac{Nv}{P_m \cdot r}} = 3,8 \sqrt{\frac{Nw}{P_m}}$$

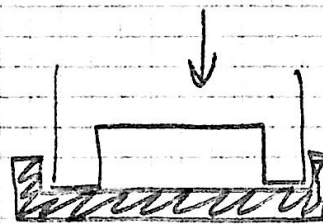
Coffre rotoidale stringente lubrificata



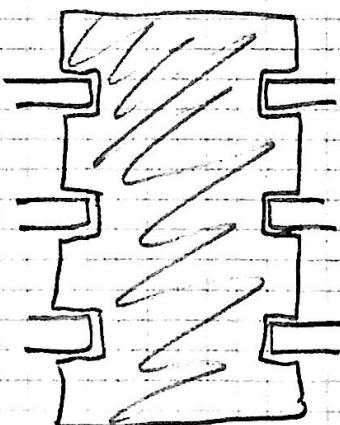
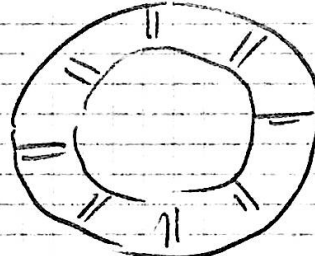
dai loro primi: è max al centro

→ forte logramento \rightarrow

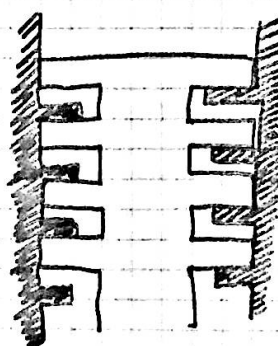
in uno quest'altro tipo



o quest'altro

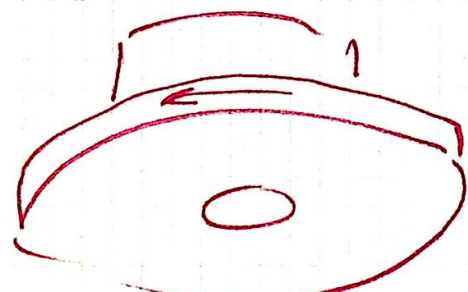


tutto con $4 \div 8 \text{ kg/cm}^2$

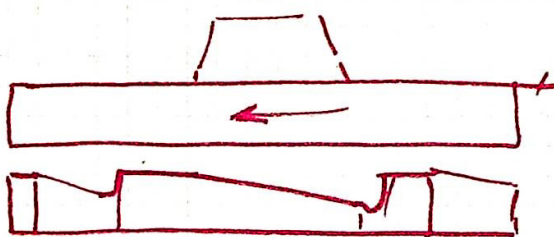
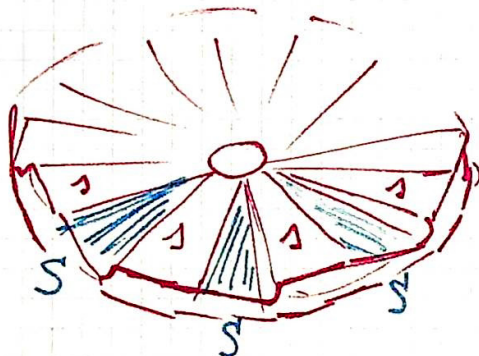


(26)

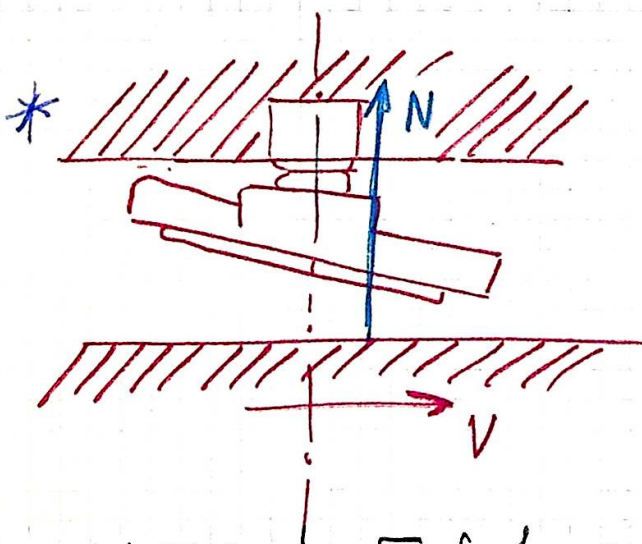
Sopporti fibbi



$$15 \div 20 \frac{\text{kg}}{\text{cm}^2}$$



Sopporti Michell e derivate



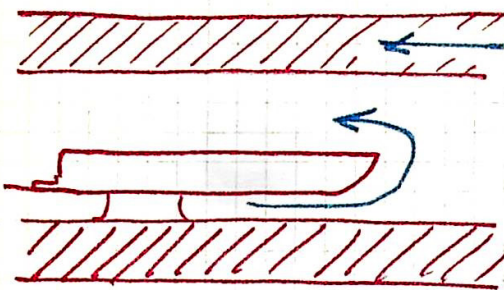
Minimo di

$$17 \div 20 \frac{\text{kg}}{\text{cm}^2}$$

Max

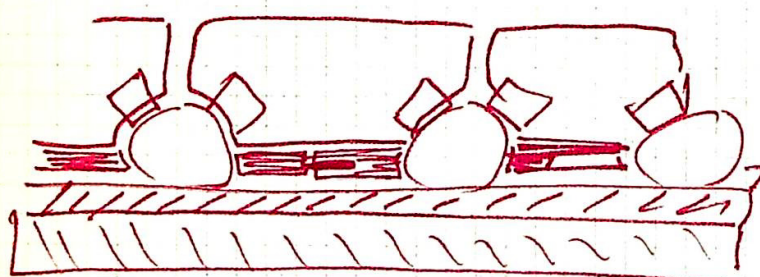
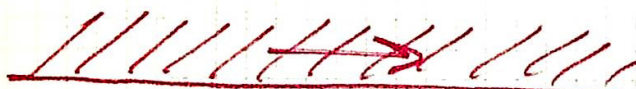
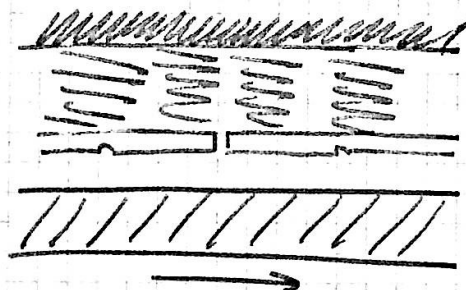
$$\text{soffitto anche } 250 \frac{\text{kg}}{\text{cm}^2}$$

* i pattini sono tenuti fermi da una racca che s'allegra in un incavo -

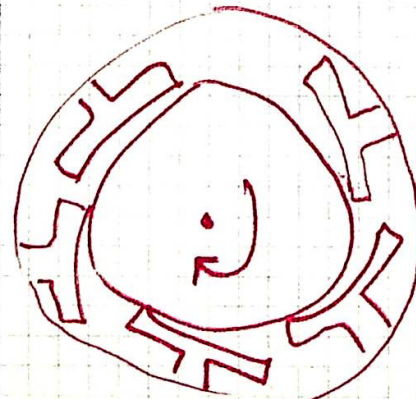


supporto charnilles
(si infleisce elasticamente)

Sopporto c.G.E.



Brown - Bovari



Tipo Michell

Coppia elicoidale lubrificata (vite-madrevite)

(27)

motores (con molta oleosità)

$$10 \frac{Np}{cm^2}$$

Se la madrevite \rightarrow 2 d si vuole una scorrimento che sposta lubrificante

motores: è facile, bisogna d'olio

l'erogazione si fa con (stauffers)

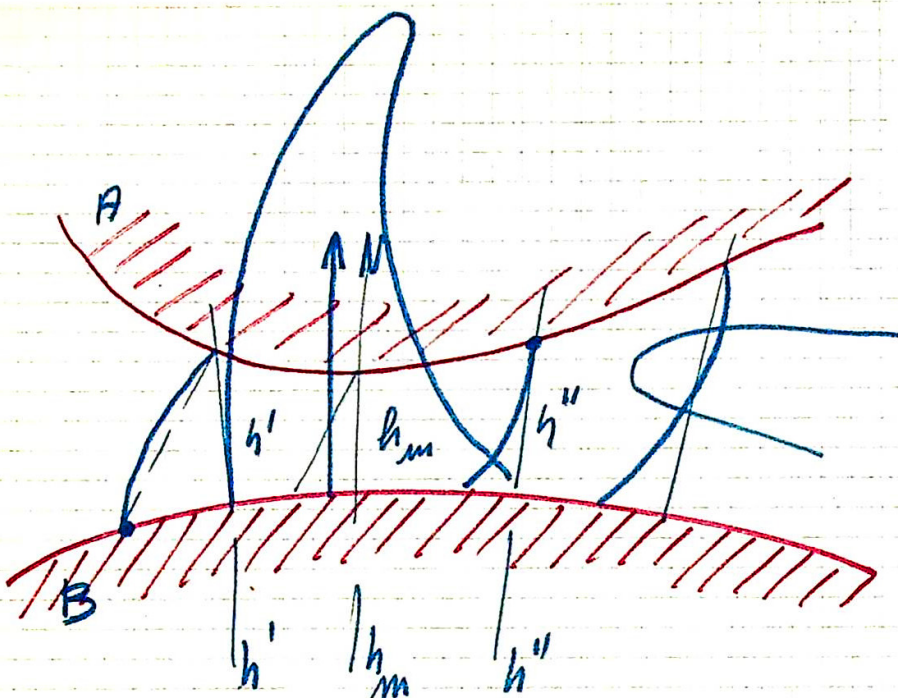
Lubrificazione delle cinematiche superiori

si puo' sforzare nel regime fluido se ci sono le opportune condizioni

a) Convergenza superfici: 1) per le sfere c'e' troppo disordine laterale

2) per ingranaggi e' steso difficile (bisogna avere un alto valore di u.v.)

ma anche se si ha il regime elastostatico si hanno gli inconvenienti che non presentiamo



il tratto utile di film, quello compreso fra h' e h''
 (dove non ci sono correnti di regresso) è molto più
 breve \rightarrow la portata è scarsa

Valore del prodotto μV minimo affinché \exists il film

$$\text{con lecaccia } \mu V \geq \eta \frac{-10 P_m}{g}$$

• P_m tensione specifica in $\frac{\text{Kg}}{\text{m}^2}$

sulla proiezione dell'area superficiale del film sul piano T_p

• g = il più piccolo dei raggi di curvatura

Lubrificazione eccentrica

e' necessario solo se c'e' attrito
(e' importante la oleosita')

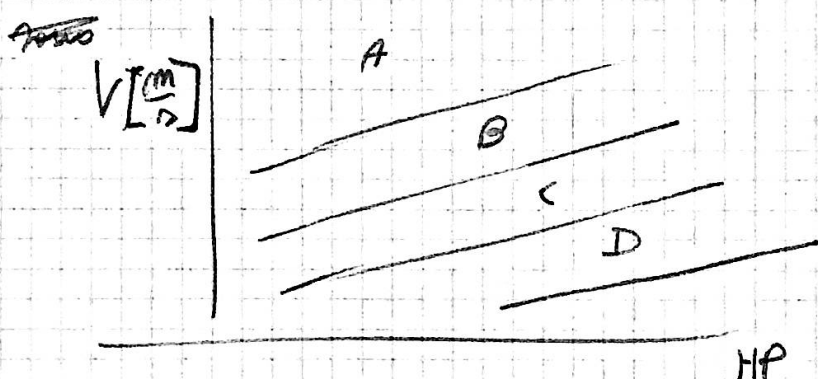
Lubrificazione in pressione

e' importante lo scorrere viscoso

l'appoggio lo fa dipendere solo da Velocità in HP

{ e velocità periferica

Per diagrammi con queste due grandezze si traccia le linee a costante (in grafico bilop sono rette)



Si ricorda di dove si capisce se si realizza l'olio mediante una Tabella annessa.

Si devono usare alcuni accorgimenti particolari

(vedi libro)

- gli ing. devono essere di buon genio.
- " " gradazione multipla si prende come V la più粘稠a
- " " speciali con P un molto alto si prende la gradazione subito più粘稠a
- per dentatura larghezza > 20 moduli " " " " più粘稠a
- tenere conto Temperature fuori del normale

Problemi sulle coppie cinematiche lubrificate in regime fluido

Il problema diretto e problema inverso

1) diretto Date le caratteristiche geometriche (cioè di forma del moto) e di funzionamento (cioè i valori della velocità e del carico di una coppia cinematica lubrificata in regime fluido) determinare il lavoro di attrito e la temperatura del film quando sia prefissato la gradazione del lubrificante

2) inverso note le caratteristiche geometriche e di funzionamento della coppia, determinare la gradazione di viscosità del lubrificante atta a contenere il coefficiente d'attrito (o il lavoro di attrito) entro limiti dati

ricordiamo che

$$U = \frac{A}{t^m}$$

$$Q = \frac{1}{427} f_c N V$$

la quantità di calore erogata è

$$\text{ma } f_c = K \sqrt{\frac{UVb}{N}}$$

Larghezza superficie in moto

K dipende dalla forma delle superfici

$$Q = \frac{K}{427} \sqrt{UVb^3} \frac{K_{col}}{1}$$

$$\text{con l'equazione calorimetrica } Q = K' (t - t_0)^m \cdot S \quad (29)$$

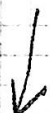
K' fattore di emissione specifica del valore

$$i \text{ lavori prodotti sono } L = K \sqrt{\mu N V^3 b} \frac{\text{Kwh}}{\text{s}}$$

$$L = 427 K' (t - t_0)^m S \quad "$$

poniamo $B = K \sqrt{N V^3 b}$ fattore di funzionamento

$$C = 427 K' S \quad " \text{ emissione termica totale}$$



$$\mu = \frac{A}{t^m}$$

$$L = B \sqrt{\mu}$$

$$L = C (t - t_0)^m$$

o

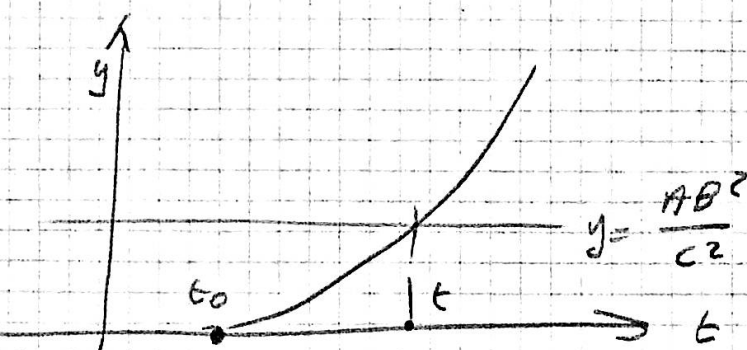
da qui ho un fitato B e una sola coppia t, μ

NB \exists un fenomeno di autoadeguamento dello strato

$$\text{mentre ho } t_0 \text{ ho } t^m (t - t_0)^{2m} = \frac{AB^2}{C^2} = \text{cost}$$

per trovare la soluzione grafico $y = t^m (t - t_0)^{2m}$

e interseco con $y = \frac{AB^2}{C^2}$



quindi ho $\epsilon \rightarrow$ posso avere $\mu \rightarrow$ posso avere A

Vediamo di determinare μ ed A

di un olio faccio due misurazioni di viscosità (con ho le rette nel piano logaritmico)

per esempio per $t_1 = 20^\circ \quad \epsilon_1 = 50^\circ \rightarrow$

$$\downarrow \quad u_1 = \frac{A}{\epsilon_1^m}, \quad u_2 = \frac{A}{\epsilon_2^m}; \quad \frac{u_1}{u_2} = \left(\frac{\epsilon_2}{\epsilon_1}\right)^m \rightarrow$$

$$\rightarrow \log \frac{u_1}{u_2} = m \log \frac{\epsilon_2}{\epsilon_1} \rightarrow m = \dots$$

metto m ricavo A : $A = u_1 \epsilon_1^m$ (o $A = u_2 \epsilon_2^m$)

per B e C \exists una Tabella che li fornisce

per C sufficienza calcola la legge di Fuchs

$$Q = 17 \text{ g}' (\epsilon - \epsilon_0)^{1/3}$$

$$\text{cioè } K' = 17 \text{ g}' \quad n = 1,3$$

\exists una Tabella che dà g'

(30)

Esempio di soluzione del problema diretto

$$d = 0,05 \text{ m}$$

$$l = 0,13 \text{ m}$$

$$N = 400 \text{ kg} \quad V = \frac{\pi d m}{60} = 0,785 \text{ m/s}$$

$$m = 300 \text{ giri/s}$$

$$t_0 = 10^\circ \text{C}$$

$$(t_1 = 20^\circ \text{C}) \quad (t_2 = 50^\circ \text{C})$$

con esigenze ri e' ricavato $\mu_1 = 0,007$, $\mu_2 = 0,00157$

$$\rightarrow M = 1,64 \quad A = 0,352 \quad \text{qui } \alpha' = 2,5$$

$$B = 27 \quad C = 0,1 \quad [\text{vedi tabella}]$$

$$\frac{AB^2}{C^2} = 69400$$

$$\text{quindi qui vale } t^{1,64} (t - 10)^{2,6} = 69400 \rightarrow t = 20,8$$

$$\frac{\mu}{\mu_e} = \frac{0,852}{1,64} = 0,0066 \rightarrow L = B \sqrt{\frac{\mu}{\mu_e}} = 27 \sqrt{0,0066} = \\ = 2,18 \frac{\text{Km}}{\text{s}}$$

$$f_c = 5,37 \sqrt{\frac{N V l}{\mu}} = 5,37 \sqrt{\frac{0,0066 \cdot 0,785 \cdot 0,13}{400}} \approx 0,007$$

$$K \text{ si ricava da } B = K \sqrt{N V^3 f}$$

Esempio di soluzione del problema inverso

$$d = 0,05 \text{ m} \quad N = 400 \text{ Kg} \quad V = \frac{\pi d \cdot n}{60} = 0,785 \text{ m/s}$$

$$l = 0,13 \text{ m} \quad n = 300 \text{ giri/s} \quad t_0 = 10^\circ$$

Sogliamo n / $f_c \leq 0,067$

$$\zeta_{\text{max consentito}} = f_c N V = \dots = 2,18 \frac{\text{Kg.m}}{\text{s}}$$

$$\mu = \frac{L^2}{B^2} = \text{fiché} \quad \text{Be' lo stesso} = \frac{2,18^2}{27^2} = 0,00656 \frac{\text{Kg} \cdot \text{s}}{\text{m}^2}$$

$$\text{moltre } (t - t_0)^{1/3} = \frac{L}{c}$$

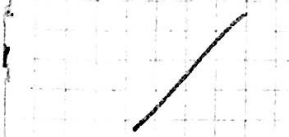
$$t = t_0 + \left(\frac{L}{c} \right)^{1/3} = 10 + \left(\frac{2,18}{0,1} \right)^{1/3} = 20,3$$

fiché $m=1,3$ e $c=91$ come prima

Se non si sa chi con gli stessi valori mi sceglie
quello col miglior indice di disodato

Sistemi di lubrificazione

a finta perdita



erogazione
intermittente

1



erogazione
continua

2



a recupero

2 bagno d'olio 3 sbattimento 4 circolazione

3

4

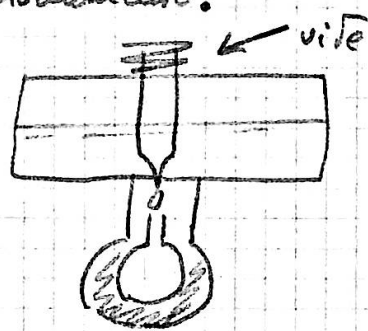
5

A finta perdita

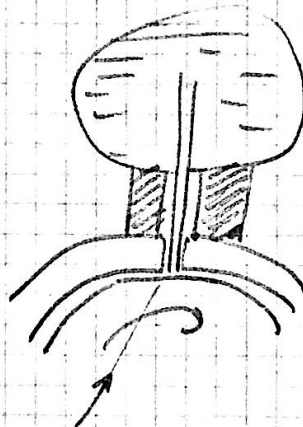
1) manuale (trotte perdite, controllo funzionamento.

o forza visibile

la perdita si regola con la vite (l'olio deve essere molto puro, netto, molto Δt)

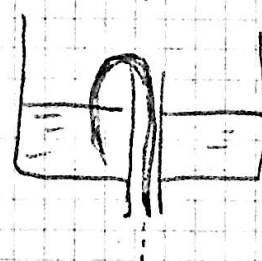


2) a bottiglia



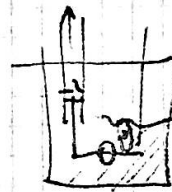
l'agitazione meccanica
della miscela fa scivolare
bollicine d'aria e fa
calore l'olio

a stoppino



funzione per capillarità
si regola lo stoppino strappando
lo stoppino (non è molto
viscoso)

analogo lo sistorre a tensione o a linea



sistemi meccanici a pressione (ad es. Lips Delvac vedi libro 181)

A Recupero

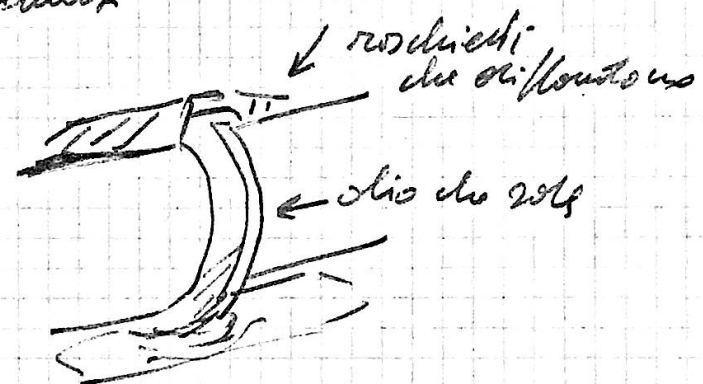
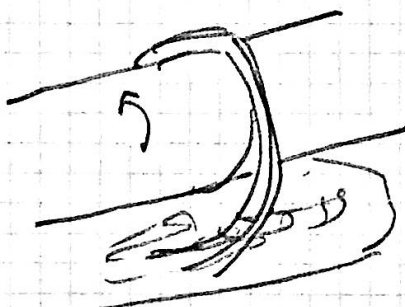
3) a bagno d'olio

a) tutto immerso (supporti sparsi e verticali)

b) infrangibili lenti: flusso mass.

c) a colore

d) ad anello



Vel. bassa per movimento,
non molto veloci

e) a catena idea con la catena

4) a sbattere specie per abbagli e macchiette
e per infrangere chiavi.

l'azione meccanica lo spruzza tutto attorno e forse
non nettoia

5) a circolazione per perdite o fogata ($0,5 \div 2,5$ sl)

se bene in qualunque condizione specie per regimi torosi
sono necessari i filtri ($10\,000 \div 17\,000$ maglie/cm²)

il filtro sta dopo la pompa sulla tubazione di macchia
ed è preceduto da valvola (non stava il filtro)

NB cogne bene anche come refrigerante

Requisiti di relativamente al sistema di lubrificazione
qualunque nei tutti perdite si ha turb. eccessiva \rightarrow
sono necessari di molto oleo.

nel caso di circolazione invece l'olio deve essere più stabile
perché è più sollecitato (film), inoltre deve avere buona
affidabilità a prendere e cedere calore.

Sistemi di lubrificazione a grasso

escluso il cuscinetto Worlop sono tutti a tutta fermità

o) con la spola o leucello

•) scatole di grasso e impennatori a pressione



a vite

a molla

NB la vite si fissa al fondo

al fondo per compiere l'aria

mollicina che spinge il grasso

qui la pressione è $\approx \frac{1}{10}$ atm.

•) a pistola (tecalemit)

Cuscinetti auto-lubrificanti

sono sferzini, si impattano all'olio all'inizio \rightarrow

quando sono in opera lo aderiscono - Da fermi lo raffreddano

però si possono lavorare a taglio: i tagli ottengono i fori

in hanno solo per fusione